

UNIVERSIDAD AUTÓNOMA DE CIUDAD
JUÁREZ

DIVISIÓN MULTIDISCIPLINARIA CIUDAD
UNIVERSITARIA

Curso: Diseño Mecatrónico

Grupo: C

Diseño de un Robot Manipulador Esférico Paralelo

FECHA DE ENTREGA:
19 DE NOVIEMBRE DEL 2025

Docente:
Dr. Francesco José Garcia Luna

Alumnas:
Angelina E. Castillo Rodarte 174885
Fernanda A. Castañeda Huerta 192771
Guadalupe Sanchez Martinez 207164
Krystal Garcia Cruz 201430

Índice general

1. Introducción	3
2. Antecedentes	4
3. Objetivos	5
3.1. Objetivo General	5
3.2. Objetivos Específicos	5
4. Marco teórico	6
4.1. ROS2	6
5. Metodología	7
5.1. Descripción de la Plataforma	9
5.2. Diseño electrónico	9
5.3. Diseño 3D	10
5.4. Análisis de la Cinemática inversa	10
6. Resultados	13
6.1. Componentes de hardware utilizados	13
6.2. Construcción del robot	14
6.3. Cinemática inversa de un SPM (3-DOF)	15
6.4. Conexión Eléctrica	17
6.5. Recolección de resultados	22
6.6. Diseño del Experimento	22
6.7. Análisis del Experimento	23
AnexoCódigo de python y Arduino	26
AnexoBPlanos de piezas	39
AnexoESquemas electrónicos	39

Capítulo 1

Introducción

Un Manipulador Esférico Paralelo(SPM por sus siglas en inglés) proporciona movimiento de orientación puro del efecto final alrededor de un centro fijo y precisión para tareas de orientación rápida y dinámica. A diferencia de manipuladores seriados, un SPM suele ofrecer una mayor relación rigidez/peso y mejores prestaciones dinámicas, lo que los hace adecuados para aplicaciones de precisión como estabilización, seguimiento de orientación y ensamblado [1].

En este proyecto se desarrolla un SPM de 3 grados de libertad (3-DOF) no planar, controlado por actuadores NEMA 17; paso a paso mediante drivers A4988, con adquisición de orientación/acceleración por un sensor IMU MPU-9250 y una interfaz basada en Arduino con CNC Shield para facilitar el montaje modular y el control de los drivers.

El presente documento describe el diseño e implementación de un SPM. Para este proyecto, la estabilización se lleva a cabo mediante el uso de una placa de desarrollo como el Arduino Mega. La arquitectura propuesta integra herramientas de software robótico (ROS2 , micro-ROS , RVIZ) en un entorno Linux , creando un ecosistema que vincula el modelo físico con la simulación virtual. En las siguientes secciones se muestran los fundamentos técnicos, el diseño del sistema así como la simulación, el código, los modelos y los recursos generados.

Capítulo 2

Antecedentes

Los SPM son robots en los que el efecto final se mueve únicamente por rotaciones alrededor de un punto fijo, sin desplazamiento lineal. Este tipo de arquitectura permite obtener una alta rigidez estructural, bajo peso relativo y una excelente respuesta dinámica.

Además, el estudio del SPM proporciona una base teórica sólida para comprender la importancia del diseño geométrico, la formulación cinemática y el análisis de desempeño, aspectos esenciales en el desarrollo del presente proyecto.

Diversas investigaciones recientes han explorado el diseño, control y desempeño de manipuladores no planares. Entre ellas, destacan dos enfoques principales, Los sistemas robóticos aplicados a la impresión 3D no planar, que buscan mejorar la calidad estructural y estética de las piezas mediante trayectorias tridimensionales. Los SPM, que ofrecen una arquitectura mecánica compacta y precisa para el control de orientación.

El trabajo de Sadeqi [1], presenta el diseño y análisis de desempeño de un manipulador paralelo esférico tipo 3-RRR, abordando los siguientes aspectos fundamentales como Modelado cinemático directo e inverso, que describe con precisión la orientación del efecto final, el Análisis dinámico a partir de ecuaciones de movimiento, considerando la interacción entre las articulaciones y la geometría del mecanismo y la evaluación de desempeño mediante parámetros como rigidez, precisión y rango de movimiento.

El segundo artículo propone un método de generación de trayectorias basado en posiciones para guiar el movimiento del robot durante la deposición del material. Este enfoque se caracteriza por su adaptabilidad a geometrías curvas y superficies complejas, así como por la optimización del control del extrusor en robots con 3 GDL, lo que permite un mejor acabado superficial y una mayor estabilidad estructural.

Capítulo 3

Objetivos

3.1. Objetivo General

Diseñar un robot manipulador esférico paralelo de 3 grados de libertad.

3.2. Objetivos Específicos

- Investigar los componentes adecuados para la construcción de un robot manipulador esférico paralelo de 3 grados de libertad.
- Calcular la cinemática inversa de un robot manipulador esférico paralelo de 3 grados de libertad.
- Integrar el robot Manipulador Esférico Paralelo.
- Validar el robot Manipulador Esférico Paralelo.

Capítulo 4

Marco teórico

4.1. ROS2

ROS2 (por sus siglas en inglés, Robot Operating System 2) es un conjunto de librerías y herramientas de software para construir aplicaciones robóticas. Desde controladores y algoritmos de vanguardia hasta herramientas de desarrollo potentes, ROS2 proporciona las herramientas de código abierto necesarias para proyectos robóticos. Desde su inicio en 2007, la comunidad de ROS ha evolucionado significativamente, y el objetivo del proyecto ROS2 es adaptarse a estos cambios, aprovechando lo mejor de ROS1 y mejorando lo que no funcionaba adecuadamente [2].

RViz2 es un puerto de RViz para ROS2 que funciona como visualizador 3D de robots. Proporciona una interfaz gráfica para que los usuarios puedan ver su robot, datos de sensores, mapas y más. Se instala por defecto con ROS2 y requiere una versión de escritorio con un entorno de escritorio o administrador de ventanas de Linux como Fedora o Arch Linux, pero preferentemente Ubuntu [3].

Los proyectos de ROS2 se organizan en paquetes, son unidades de software que contienen código, datos y otros recursos. Para crear un paquete de ROS2, se utiliza el comando `ros2 pkg create`, que genera la estructura básica del paquete. Los paquetes pueden contener nodos, bibliotecas, archivos de configuración y otros recursos necesarios para el funcionamiento del sistema robótico [4].

Capítulo 5

Metodología

El diagrama de flujo del proyecto constituye una representación visual que facilita la comprensión clara y organizada de las etapas que integran el desarrollo del sistema. En esta estructura se evidencia la secuencia lógica de operación, donde el programa ejecuta de manera iterativa los procesos de lectura, procesamiento, toma de decisiones y actuación. La Figura 5.1 presenta dicha representación, en la cual se destacan los bloques fundamentales del sistema y la interrelación que existe entre ellos. Además de proporcionar una visión general del funcionamiento del sistema, este diagrama cumple la función de guiar al lector a lo largo de la metodología, permitiendo identificar de manera intuitiva las dependencias entre etapas, los puntos de retroalimentación y las decisiones críticas que influyen en el desarrollo del proyecto. A continuación, se describen las etapas que conforman el flujo metodológico del proyecto:

1. Inicio del proyecto En esta etapa se da comienzo formal al proyecto. Se establecen los objetivos principales, el alcance y los recursos necesarios para llevar a cabo el desarrollo del manipulador robótico.

2. Diseño del modelo CAD en SolidWorks: Se realiza la creación del modelo tridimensional del manipulador utilizando el software SolidWorks. Aquí se definen las dimensiones, geometrías y componentes estructurales que formarán parte del prototipo final.

3. Análisis cinemático inverso para determinar las posiciones de los motores en función de la orientación: En esta fase se lleva a cabo el cálculo matemático de la cinemática inversa. Su propósito es determinar los ángulos o posiciones que deben adoptar los motores para alcanzar una posición y orientación deseada del efecto final.

4. Comprobación de la cinemática inversa: Se evalúa si los resultados obtenidos del análisis cinemático inverso son correctos y coherentes con el modelo diseñado. En caso de detectar inconsistencias, se regresa a la etapa de análisis para realizar ajustes y garantizar el buen funcionamiento del manipulador.

5. Fabricación y ensamble de las piezas estructurales mediante impresión 3D: Una vez validado el análisis cinemático, se procede a la fabricación de las piezas estructurales mediante impresión 3D. Posteriormente, se realiza el ensamble físico de todos los componentes mecánicos que conforman el manipulador.

6. Implementación del sistema de control electrónico: Se integran los sistemas electrónicos encargados del control del manipulador, como microcontroladores, drivers de motores, sensores y el cableado correspondiente. También se desarrolla la programación necesaria para sincronizar el funcionamiento entre la electrónica y la mecánica del sistema.

7. Pruebas de validación para evaluar la precisión y el rango de movimiento del manipulador: En esta etapa se realizan pruebas experimentales para comprobar el desempeño del manipulador. Se evalúa si los movimientos obtenidos corresponden a los esperados, midiendo precisión, repetibilidad y alcance.

8. Fin del proyecto: En esta fase se documentan los resultados y se cierran todas las actividades correspondientes al desarrollo del manipulador robótico.

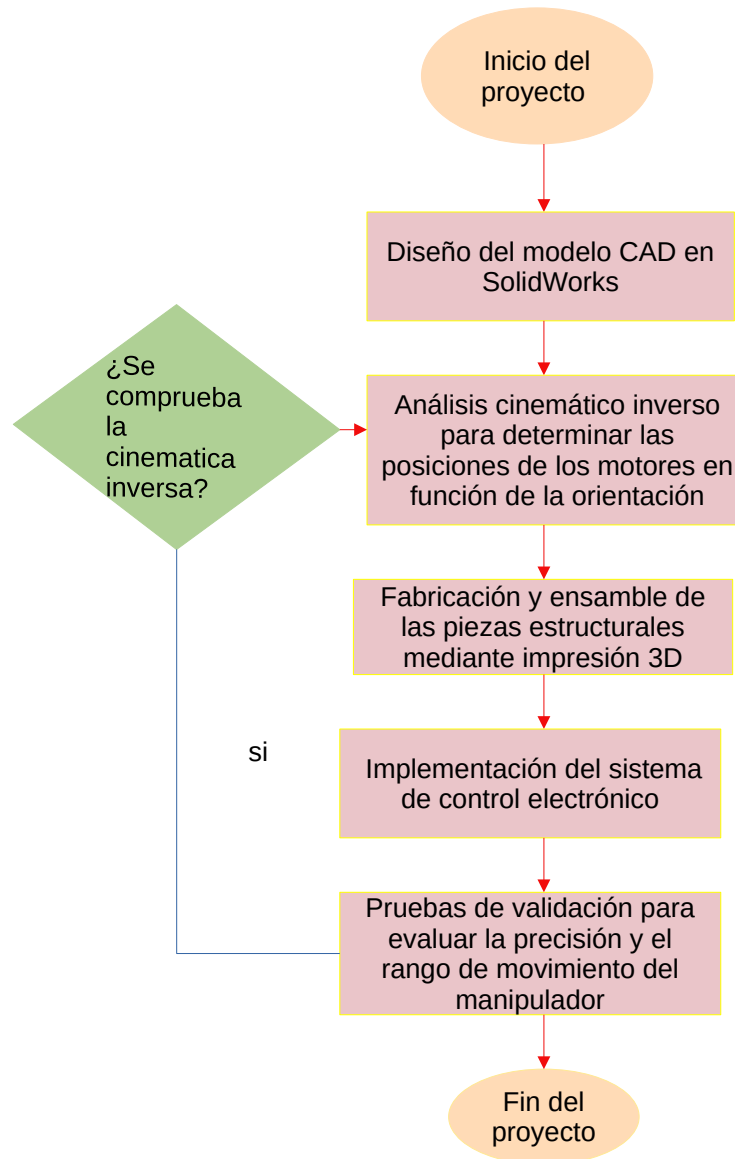


Figura 5.1: Diagrama de flujo

5.1. Descripción de la Plataforma

La plataforma corresponde a SPM de tres grados de libertad , diseñada para realizar movimientos de orientación en el espacio sin desplazar el centro de la plataforma móvil. Este mecanismo resulta ideal para aplicaciones de precisión donde se requiere un control exacto de la orientación.

El uso de software de modelado y simulación permitió optimizar la geometría de los eslabones y la ubicación de los actuadores, lo que resultó en un mayor espacio de trabajo y en el correcto funcionamiento del mecanismo.

Para el desarrollo de un SPM se requiere una combinación de componentes electrónicos y mecánicos que permitan su correcto funcionamiento. El sistema necesita una unidad de control que procese las señales de entrada, ejecute los algoritmos de control y coordine el movimiento de los actuadores. Además, se incluyen módulos de accionamiento que actúan como intermediarios entre la unidad de control y los motores, regulando la potencia y el sentido de giro.

Los actuadores son los encargados de generar el movimiento en las articulaciones del robot, garantizando precisión en la posición del efecto final. Para el sensado, se emplean sensores que proporcionan información sobre la orientación, posición o velocidad del sistema, lo cual resulta esencial para la retroalimentación y el control del movimiento. Finalmente, el robot cuenta con una estructura mecánica formada por eslabones, uniones y soportes, que proporcionan estabilidad y rigidez estructural al conjunto.

5.2. Diseño electrónico

El diseño electrónico del robot SPM se fundamenta en la integración coordinada de diversos módulos, cuyo propósito es asegurar que el efecto final pueda desplazarse libremente a través de cada uno de los eslabones del mecanismo. Para lograrlo, se incorporaron motores paso a paso, ya que permiten controlar con precisión la posición y el movimiento angular de cada articulación.

En el Anexo 3, figura 13 se encuentra el esquema principal, donde se detalla la conexión de un motor NEMA 17 hacia la Shield CNC V3, la cual opera en conjunto con un solo driver A4988. Esta etapa del diseño permite visualizar de forma clara cómo se distribuyen las señales de control y la alimentación hacia uno de los motores del robot.

En la Figura 14 se presenta una vista más completa del sistema electrónico. Allí se muestra la conexión de los tres drivers A4988 con sus respectivos motores NEMA 17, evidenciando la estructura que se utilizará para generar el movimiento coordinado de todo el robot. Además, se aprecia la posición asignada al sensor destinado al efecto final, el cual se integrará para proporcionar retroalimentación o detección según las necesidades operativas del robot.

En conjunto, estas figuras y el diseño electrónico explican la arquitectura general del sistema de control, para una distribución adecuada de señales, potencia y elementos sensores, lo que permite un funcionamiento estable y preciso del robot SPM.

5.3. Diseño 3D

El diseño tridimensional del robot se desarrolló utilizando software CAD paramétrico, lo que permitió ajustar dimensiones, tolerancias y uniones mecánicas de manera iterativa. El modelo final incluye tanto la estructura principal como los elementos móviles y de soporte, asegurando compatibilidad entre todas las piezas antes del proceso de fabricación.

Los planos y archivos de fabricación, desglosados por pieza, se encuentran en el Anexo 2 e incluyen las vistas, cotas, especificaciones geométricas y tolerancias recomendadas para cada componente. Adicionalmente, se añadieron referencias de ensamblaje para facilitar la correcta orientación de las partes durante el montaje.

Las piezas fueron fabricadas mediante impresión 3D utilizando material PLA, prácticamente listo para el ensamblaje, con los elementos de fijación y transmisión: tornillos, tuercas, collarines y baleros, los cuales son necesarios para unir y asegurar correctamente las piezas impresas y los ejes motrices.

5.4. Análisis de la Cinemática inversa

Los robots paralelos, a diferencia de los robots seriales, están formados por varios eslabones que conectan la base con el efecto final. Esta configuración permite distribuir el peso entre las piernas, otorgando al sistema una mayor rigidez y precisión. Entre los manipuladores paralelos más conocidos se encuentran el robot Delta, el robot Stewart y el manipulador esférico paralelo (SPM), que es el tipo utilizado en este proyecto.

El manipulador SPM de tres grados de libertad (3-DOF) se caracteriza por permitir la rotación del efecto final alrededor de un punto fijo, conocido como centro de rotación. Cada una de las tres piernas se mueve mediante un motor paso a paso. Gracias a esta configuración, el SPM puede generar movimientos suaves y coordinados en los tres ejes de rotación: x , y y z .

La cinemática inversa es el proceso mediante el cual se calculan los ángulos de las articulaciones o los pasos de los motores necesarios para alcanzar una posición u orientación deseada. En el caso del SPM, las variables de entrada son las coordenadas del efecto final (x , y , z), mientras que las variables de salida son los ángulos de los tres motores (θ_1 , θ_2 , θ_3). Se obtienen las relaciones matemáticas que permiten determinar cuánto debe girar cada motor.

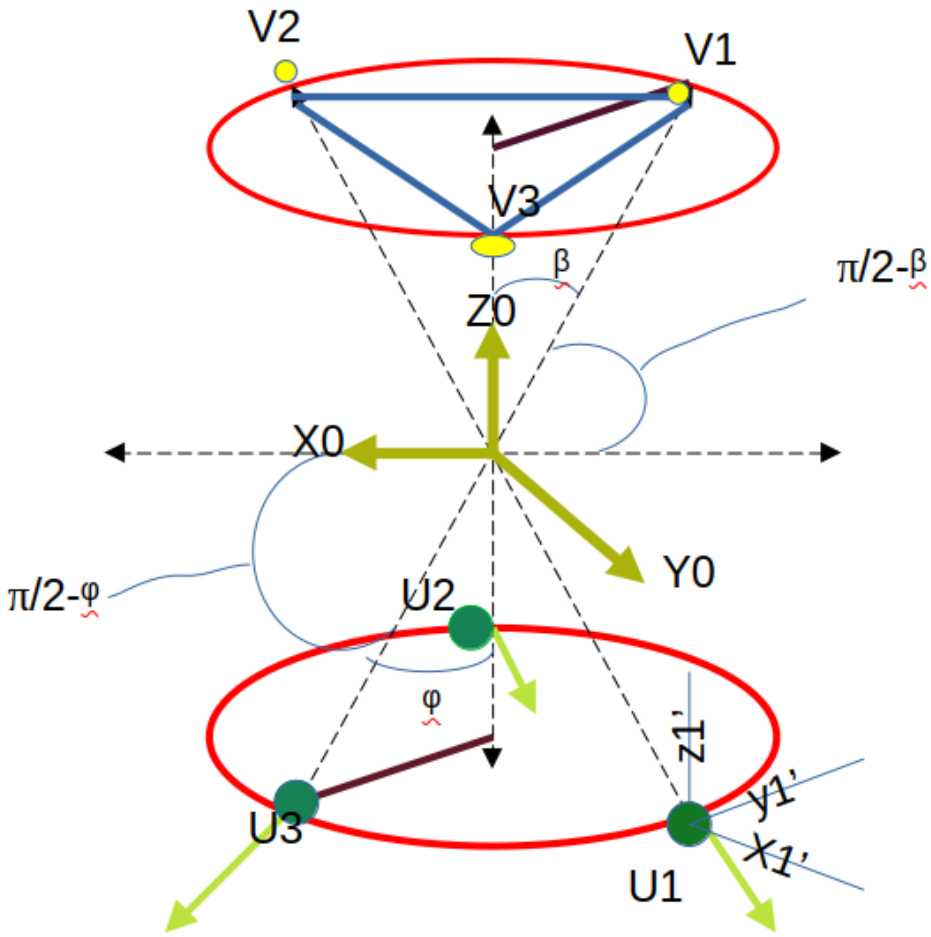


Figura 5.2: Representación geométrica de un manipulador esférico de tres grados de libertad.

En la Figura 5.2 se aprecia que los puntos U_1 , U_2 y U_3 se encuentran sobre una circunferencia fija asociada al plano de la base, mientras que los puntos V_1 , V_2 y V_3 pertenecen a la circunferencia móvil correspondiente a la plataforma. El punto O representa el centro esférico común a todas las articulaciones. El movimiento de orientación del efecto final se produce por las rotaciones independientes de cada actuador \mathbf{q}_i en torno a su eje \mathbf{u}_i .

A continuación, se definen las principales variables empleadas en el análisis cinemático inverso del SPM:

- \mathbf{r}_i : Vector que une el centro O con la posición inicial.
- \mathbf{p}_i : Base frame.
- \mathbf{P}'_i : El vector de la plataforma.
- \mathbf{i} : Es el motor.
- \mathbf{O} : Centro esférico.
- \mathbf{q}_i : El angulo que debe girar el motor i .
- R : Matriz de rotación 3×3 que representa la orientación deseada de la plataforma respecto al marco base.

- \mathbf{u}_i : Vector unitario que indica el eje de rotación de la junta \mathbf{u}_i
- $\mathbf{r}_i \times \mathbf{r}'_i$: Es el vector perpendicular al plano formado por las posiciones inicial y final.
- $\mathbf{r}_i \cdot \mathbf{r}'_i$: Es el coseno del ángulo entre ambos vectores.

Para el desarrollo de este proyecto, se implementó una versión simplificada del modelo cinemático inverso, en la cual los cálculos se realizan directamente en el microcontrolador Arduino. De esta manera, el sistema convierte las coordenadas deseadas en los desplazamientos angulares necesarios para cada motor, los cuales son transformados posteriormente en pasos mediante los controladores A4988.

Capítulo 6

Resultados

6.1. Componentes de hardware utilizados

En esta sección se presentan los componentes seleccionados para la implementación del SPM. Los elementos fueron elegidos considerando su disponibilidad, compatibilidad y desempeño dentro del sistema.

La IMU MPU-9250 se seleccionó por su capacidad para medir aceleraciones, velocidades angulares y campo magnético en tres ejes, lo que permite una estimación precisa de la orientación del efecto final. Su integración de nueve grados de libertad y su bajo consumo energético la convierten en una opción adecuada para sistemas de control.

El driver A4988 fue elegido por su simplicidad de configuración y su capacidad para controlar motores paso a paso con diferentes modos de microstepping. Esto posibilita un movimiento más suave y preciso de los actuadores, facilitando la sincronización entre las piernas del manipulador.

Se utilizaron motores paso a paso NEMA 17 debido a su equilibrio entre torque, tamaño y precisión angular. Estos motores son ampliamente compatibles con diversos controladores y ofrecen la resolución necesaria para el posicionamiento del efecto final dentro del espacio de trabajo del robot.

Finalmente, se incorporó una CNC Shield v3 para Arduino como interfaz de conexión, ya que permite integrar fácilmente los drivers y los motores con la unidad de control. Su diseño modular simplifica el cableado y la configuración del sistema, además de ser compatible con múltiples plataformas de control basadas en Arduino.

Cuadro 6.1: Características de los componentes

MPU-9250	A4988	Motor NEMA 17	CNC Shield (v3)
Módulo IMU 9 ejes	Driver DMOS Microstepping.	Tamaño 43.2 x 43.2 mm	Shield modular utilizando Arduino para controlar 4 ejes.
Convertidores ADC de 16 bits.	Alimentación de 8 V a 35 V.	Típicamente 200 pasos por revolución (1.8° por paso).	Sockets, pines y librerías.
Giroscopio seleccionable.	Disipación variable con refrigeración o sin ventilación.	Cambian según corriente nominal, torque y longitud del eje.	
Sensor de 9 ejes integrado para fusión de sensores e interrupciones por movimiento.	Limitación y protección de corriente con control decay.		
Calibración de componentes para uso en estimaciones de actitud.	Ajustar la corriente del motor.		

6.2. Construcción del robot

La construcción del SPM de tres grados de libertad se realizó una vez finalizados los diseños electrónico y mecánico. En esta etapa se integraron las piezas impresas en 3D con los componentes electrónicos, asegurando la correcta alineación de los ejes de rotación en el punto O del manipulador.

El proceso de ensamblaje se inició con la base, donde se montaron los tres motores paso a paso NEMA 17 sobre el soporte del motor. Cada motor se acopló a su brazo inferior, garantizando el movimiento angular. Posteriormente, se ensamblaron los brazos intermedios y la plataforma móvil, verificando que la geometría del sistema mantuviera la simetría de 120° entre las piernas.

Durante la fase de construcción, se emplearon elementos de fijación como tornillos, tuercas, collarines y baleros, los cuales permitieron reducir el juego mecánico y mejorar la estabilidad.

En la figura 6.1 se presenta el modelo 3D del robot SPM, donde se identifican las piezas mecánicas y las estructuras impresas en 3D que componen los eslabones y el soporte del efecto final.



Figura 6.1: Render del Robot SPM

6.3. Cinemática inversa de un SPM (3-DOF)

La cinemática inversa en un SPM de tres grados de libertad consiste en determinar los ángulos de las articulaciones que permiten alcanzar una orientación deseada del efecto final. Para resolver la cinemática inversa se implica obtener los ángulos articulares necesarios para lograr una rotación específica en torno a los ejes x , y y z .

Consideramos un manipulador esférico con centro de rotación en el punto O . Cada una de las tres piernas conecta la base de manera que el efecto final tiene solo orientación (no traslación) respecto a O .

El vector del punto de la plataforma \mathbf{p}'_i se obtiene aplicando la orientación de la plataforma mediante la matriz de rotación R , tal como se muestra en la Ecuación (6.1):

$$\mathbf{p}'_i = R \mathbf{p}_i. \quad (6.1)$$

Esta ecuación indica que la posición del punto de la plataforma en el espacio depende de la plataforma móvil. Cada motor i tiene un eje de rotación definido por el vector \mathbf{u}_i , y el punto de la plataforma correspondiente se encuentra a lo largo de dicha dirección desde el centro O . Para analizar el movimiento en el plano perpendicular a \mathbf{u}_i , se construyen los vectores, así como la Ecuación (6.2) y (6.3):

$$\mathbf{a}_{i,\perp} = \mathbf{r}_i - (\mathbf{u}_i \cdot \mathbf{r}_i) \mathbf{u}_i, \quad (6.2)$$

$$\mathbf{b}_{i,\perp} = \mathbf{r}'_i - (\mathbf{u}_i \cdot \mathbf{r}'_i) \mathbf{u}_i. \quad (6.3)$$

Estas expresiones eliminan la componente del vector sobre el eje \mathbf{u}_i , dejando únicamente su proyección en el plano de rotación del motor. El ángulo actuador q_i se define como el giro necesario del eje \mathbf{u}_i para pasar de la posición inicial \mathbf{r}_i a la posición final \mathbf{r}'_i . Este ángulo puede obtenerse a partir del producto vectorial y escalar de los vectores proyectados, mediante la función atan2, que permite determinar el signo del giro:

$$q_i = \text{atan2}(\mathbf{u}_i \cdot (\mathbf{a}_{i,\perp} \times \mathbf{b}_{i,\perp}), \mathbf{a}_{i,\perp} \cdot \mathbf{b}_{i,\perp}). \quad (6.4)$$

De manera equivalente, expresando el ángulo directamente con los vectores \mathbf{r}_i y \mathbf{r}'_i :

$$q_i = \text{atan2}(\mathbf{u}_i \cdot (\mathbf{r}_i \times \mathbf{r}'_i), \mathbf{r}_i \cdot \mathbf{r}'_i). \quad (6.5)$$

Esta última forma, Ecuación (6.5), es especialmente útil en la implementación computacional, ya que utiliza directamente las posiciones iniciales y finales de los puntos. Por tanto, el conjunto de ecuaciones desde (6.1) hasta (6.5) permite determinar el ángulo que debe girar cada motor i en función de la orientación deseada de la plataforma y la geometría del sistema.

6.4. Conexión Eléctrica

La conexión eléctrica constituye una etapa fundamental en la integración del robot SPM, ya que permite enlazar los elementos electrónicos responsables del control y la alimentación del sistema. En esta fase se establecieron las conexiones entre los actuadores, los módulos de control y la unidad central, asegurando el correcto funcionamiento del manipulador.

Una vez ensamblado el sistema, se procedió a realizar la conexión de los motores a la Shield CNC V3, empleando tres drivers A4988 configurados con microstepping de 1/16 de paso. El control de los motores se efectuó mediante un microcontrolador Arduino, encargado de ejecutar los algoritmos de cinemática inversa y generar las señales de control necesarias para el movimiento coordinado del efecto final.

Para los controladores de motores paso a paso como el A4988, la corriente máxima del motor depende directamente del voltaje de referencia. Este voltaje se ajusta mediante un potenciómetro ubicado en el driver, el cual regula la corriente midiendo la caída de tensión sobre una resistencia R_s . La relación general entre el voltaje de referencia y la corriente máxima de fase se expresa mediante la Ecuación (6.6):

$$V_{\text{ref}} = I_{\max} \cdot K_A, \quad (6.6)$$

donde I_{\max} es la corriente máxima permitida en cada fase del motor y K_A es una constante que depende de la resistencia de sensado. Para el caso del driver A4988, dicha constante está dada por:

$$K_A = 8 R_s, \quad (6.7)$$

ya que el circuito interno del A4988 multiplica la tensión medida en las resistencias R_s por un factor aproximado de 8 para determinar el límite de corriente. Sustituyendo la Ecuación (6.7) en la Ecuación (6.6), se obtiene la relación práctica:

$$V_{\text{ref}} = I_{\max} \cdot 8 R_s. \quad (6.8)$$

De este modo, el voltaje de referencia depende tanto de la corriente deseada como del valor de las resistencias del driver.

Para el procedimiento, un motor NEMA 17 cuya corriente por fase es $I_{\text{motor}} = 0,4 \text{ A}$ y el driver A4988 tiene resistencias $R_s = 0,1 \Omega$. Sustituyendo estos valores en la Ecuación (6.8), se obtiene:

$$V_{\text{ref}} = 0,4 \text{ A} \times 8 \times 0,1 \Omega = 0,32 \text{ V}. \quad (6.9)$$

Sin embargo, en la Ecuación 6.9 se obtiene el valor de voltaje de referencia, para evitar sobrecalentamiento, es común ajustar el voltaje de referencia para limitar la corriente a un porcentaje menor, por ejemplo al 70%. Aplicando este ajuste, se tiene:

$$V_{\text{ref, ajustado}} = 0,32 \times 0,7 = 0,22 \text{ V}. \quad (6.10)$$

En la práctica, este valor que se obtuvo en la Ecuación 6.10 se mide con un multímetro mientras se ajusta el potenciómetro del driver.

En motores paso a paso, la posición angular se mide en radianes, por lo que es necesario convertir los pasos por revolución en unidades angulares. La conversión básica de grados a radianes se expresa mediante la Ecuación 6.11:

$$1^\circ = \frac{\pi}{180} \text{ rad.} \quad (6.11)$$

Si el motor tiene N_{steps} pasos por revolución, el desplazamiento angular correspondiente a un paso completo se obtiene con la Ecuación (6.12):

$$\theta_{\text{step}}^{\text{rad}} = \frac{2\pi}{N_{\text{steps}}}. \quad (6.12)$$

Por ejemplo, en un motor NEMA 17 de 200 pasos por revolución, el desplazamiento angular correspondiente a un paso completo se obtiene aplicando la Ecuación (6.12):

$$\theta_{\text{step}}^{\text{rad}} = \frac{2\pi}{200} \approx 0,0314 \text{ rad/paso.} \quad (6.13)$$

Este valor indica que cada pulso que recibe el driver produce un giro de aproximadamente 0,0314 rad (equivalente a $1,8^\circ$). Cuando se activa el modo de microstepping con un factor M , el desplazamiento angular por micropasos se reduce de forma proporcional. En este caso, la relación se determina mediante la Ecuación (6.14):

$$\theta_{\text{microstep}}^{\text{rad}} = \frac{\theta_{\text{step}}^{\text{rad}}}{M} = \frac{2\pi}{N_{\text{steps}} \cdot M}. \quad (6.14)$$

De esta manera, al aumentar el valor de M , se mejora la resolución angular del sistema, permitiendo movimientos más precisos.

Para alcanzar un ángulo deseado $\theta_{\text{deseado}}^{\text{rad}}$, es necesario calcular el número total de micropasos requeridos. Este valor se obtiene al dividir el ángulo objetivo entre el desplazamiento angular por micro-paso, como se muestra en la Ecuación (6.15):

$$N_{\text{req}} = \frac{\theta_{\text{deseado}}^{\text{rad}}}{\theta_{\text{microstep}}^{\text{rad}}}. \quad (6.15)$$

Sin embargo, dado que el número de pasos que el motor puede ejecutar debe ser un número entero, el controlador debe redondear el valor obtenido en la Ecuación (6.15). El número real de pasos ejecutados se define entonces mediante la Ecuación (6.16):

$$N_{\text{real}} = \text{round}(N_{\text{req}}), \quad (6.16)$$

lo cual significa que el motor realizará el número entero de micro-pasos más cercano al requerido. A partir de este valor, se puede determinar el ángulo realmente alcanzado, aplicando la Ecuación (6.17):

$$\theta_{\text{real}}^{\text{rad}} = N_{\text{real}} \cdot \theta_{\text{microstep}}^{\text{rad}}. \quad (6.17)$$

Finalmente, la diferencia entre el ángulo deseado y el ángulo realmente alcanzado constituye el error angular del sistema. Este error se expresa mediante la Ecuación (6.18):

$$e^{\text{rad}} = \theta_{\text{deseado}}^{\text{rad}} - \theta_{\text{real}}^{\text{rad}}. \quad (6.18)$$

Para el funcionamiento básico del control del motor paso a paso, se elaboró un pseudocódigo que resume la lógica empleada para convertir un ángulo solicitado en radianes en la cantidad de pasos que el motor debe ejecutar. Este pseudocódigo permite explicar de manera clara el flujo del programa, en él se definen las constantes principales del motor, el cálculo de la resolución angular por micro-paso y el procedimiento para determinar los pasos necesarios según la diferencia entre el ángulo actual y el deseado. De esta forma, el pseudocódigo sirve como referencia conceptual del comportamiento del controlador mostrado en el Algoritmo 6.1.

Listing 6.1: Control de motor paso a paso con BasicStepperDriver y ángulos en radianes

```
1 // -----
2 // Configuracion inicial
3 // -----
4 SubProceso setup
5     // -----
6     // Control de motor paso a paso por angulo en radianes
7     Pseudocodigo
8     // -----
9     // Constantes del motor// Pines del motor
10    Definir MOTOR_STEPS, rpm, MICROSTEPS, DIR, STEP, ENABLE Como
11        Entero;
12    MOTOR_STEPS <- 200;
13    rpm <- 60;
14    MICROSTEPS <- 16;
15    DIR <- 7;
16    STEP <- 9;
17    ENABLE <- 8;
18    // Variables del programa
19    Definir theta_step, theta_micro, current_angle, target_angle
20        Como Real;
21    Definir delta_angle, steps_required, steps_to_move, real_angle,
22        error Como Real;
23    IniciarComunicacionSerial(9600);
24    // Inicializacion del objeto motor (simulada)
25    Definir stepper Como Real;
26    // steper.
27    iniciar(rpm,MICROSTEPS);
28    definirEstadoActivoDeEnable(LOW);
29    habilitar();
30    theta_step <- (2*PI)/MOTOR_STEPS;
31    theta_micro <- theta_step/MICROSTEPS;
32    current_angle <- 0;
33    Escribir ('===== CONTROL DE ANGULOS EN RADIANES =====');
34    Escribir ('Escribe el angulo en radianes y presiona ENTER (ej:
35        0.87)');
36    Escribir ('-----');
37 FinSubProceso
38
39 // -----
40 // Bucle principal
41 // -----
42 Algoritmo loop
43     Definir target_angle, delta_angle, steps_required,
44         steps_to_move Como Real;
45     Definir real_angle, error, current_angle, theta_micro Como Real
46         ;
47     Definir serial_disponible Como Logico;
48     current_angle <- 0;
49     theta_micro <- 0.01745;
50     serial_disponible <- Verdadero; // Ejemplo: 1 grado en radianes
51         por paso
```

```

44     Si serial_disponible=Verdadero Entonces // Simulacion de que
45         hay datos disponibles
46             Escribir 'Ingrese el angulo deseado (en radianes): ';
47             Leer target_angle;
48             delta_angle <- target_angle-current_angle;
49             steps_required <- delta_angle/theta_micro;
50             steps_to_move <- Redon(steps_required);
51             real_angle <- steps_to_move*theta_micro;
52             error <- delta_angle-real_angle;
53             // Simulamos el movimiento del motor
54             current_angle <- current_angle+real_angle;
55             Escribir '==== RESULTADOS ====';
56             Escribir 'Angulo deseado: ', target_angle;
57             Escribir 'Resolucion angular: ', theta_micro, ' rad/
58                 step';
59             Escribir 'Pasos calculados: ', steps_required;
60             Escribir 'Pasos ejecutados: ', steps_to_move;
61             Escribir 'Angulo real movido: ', real_angle;
62             Escribir 'Error: ', error;
63             Escribir 'Posicion acumulada: ', current_angle;
64             Escribir '-----';
65
66         FinSi
67     FinAlgoritmo
68
69 SubProceso IniciarComunicacionSerial(baudios)
70
71 FinSubProceso
72
73 SubProceso SerialDisponible
74
75 FinSubProceso
76
77 SubProceso iniciar(rpm,mcstep)
78
79 FinSubProceso
80
81 SubProceso definirEstadoActivoDeEnable(var)
82
83 FinSubProceso
84 SubProceso habilitar
85
86 FinSubProceso

```

El pseudocódigo presentado en el Algoritmo 6.2 describe el funcionamiento básico del control del motor paso a paso correspondiente al eje Y empleando una CNC Shield y un Arduino Mega 2560.

Su propósito es ilustrar de forma clara la secuencia de instrucciones necesarias para generar movimiento alternado en ambos sentidos de giro.

En este algoritmo se definen los pines utilizados para el paso, la dirección y la habilitación del motor, así como las variables de tiempo que determinan la velocidad del movimiento.

Posteriormente, el programa principal ejecuta un bucle infinito en el que se llama a un subproceso encargado de generar los pulsos adecuados para el driver.

Este subprocesso controla la activación del motor, establece la dirección de giro y ejecuta una serie de pasos en un sentido y luego en el contrario, simulando un movimiento oscilatorio.

Listing 6.2: Control de motor paso a paso en el eje Y con CNC Shield y Arduino Mega 2560 pseudocódigo

```
1 // --- Programa principal ---
2 Algoritmo Principal
3     // Declaracion de constantes (pines) y variables
4     Definir y_paso, y_dire, y_habi, retardo, tiempo Como Entero;
5     // Variables de tiempo
6     y_paso <- 5;
7     y_dire <- 3;
8     y_habi <- 8;
9     retardo <- 2000;
10    tiempo <- 120;
11    // Configurar pines como salida
12    //
13    ConfigurarPin(y_paso,SALIDA);
14    ConfigurarPin(y_dire,SALIDA);
15    ConfigurarPin(y_habi,SALIDA);
16    // Ciclo infinito
17    Mientras Verdadero Hacer
18        Llamar_giro(y_paso,y_dire,y_habi);
19    FinMientras
20 FinAlgoritmo
21
22 // --- Subproceso para hacer girar el motor ---
23 SubProceso giro(paso_,dire_,habi_)
24     // Deshabilitar motor
25     EscribirPin(habi_,LOW);
26     // Establecer direccion hacia un lado
27     EscribirPin(dire_,LOW);
28     // Hacer tiempo pasos en esa direccion
29     Para i<-1 Hasta tiempo Con Paso 1 Hacer
30         EscribirPin(paso_,HIGH);
31         EsperarMicrosegundos(retardo);
32         EscribirPin(paso_,LOW);
33         EsperarMicrosegundos(retardo);
34     FinPara
35     // Cambiar direccion al lado opuesto
36     EscribirPin(dire_,HIGH);
37     // Repetir los pasos en la direccion contraria
38     Para i<-1 Hasta tiempo Con Paso 1 Hacer
39         EscribirPin(paso_,HIGH);
40         EsperarMicrosegundos(retardo);
41         EscribirPin(paso_,LOW);
42         EsperarMicrosegundos(retardo);
43     FinPara
44     // Habilitar motor nuevamente
45     EscribirPin(habi_,HIGH);
46     // Pausar 1 segundo
47     Esperarval(1);
48 FinSubProceso // segundos
49
```

```

50 SubProceso ConfigurarPin(ysub, output)
51
52 FinSubProceso
53
54 SubProceso Llamar_giro(ypaso, ydire, yhabi)
55
56 FinSubProceso
57
58 SubProceso EscribirPin(pin, bool)
59
60 FinSubProceso
61
62 SubProceso EsperarMicrosegundos(rest)
63
64 FinSubProceso
65
66 SubProceso Esperarval(val)
67
68 FinSubProceso

```

6.5. Recolección de resultados

En esta etapa se implementó la comunicación entre los sensores y el entorno de simulación a través de nodos desarrollados en *ROS2*. En particular en el Anexo 1, se muestra el diseño de un nodo dedicado a la adquisición de datos provenientes del sensor MPU-9250, el cual permite obtener información de aceleración, velocidad angular y campo magnético en tres ejes.

El sensor fue conectado a un microcontrolador Arduino, encargado de realizar la lectura continua de los valores crudos generados por el MPU-9250. Estos datos son posteriormente enviados hacia una interfaz en Python, donde se procesan y publican en los tópicos correspondientes del entorno ROS2. De esta forma, se dispone de la información del sensor en tiempo real dentro del sistema robótico.

En el nodo de Python, se implementó la publicación de mensajes en los tópicos `/data_raw` y `/mag`, los cuales contienen los datos iniciales y de magnetómetro respectivamente. Además, se desarrolló una suscripción a dichos tópicos con el método `filter madgwick`, encargado de filtrar y suavizar las lecturas del campo magnético, mejorando la estabilidad en la estimación de la orientación.

De manera general, el flujo de comunicación se establece de la siguiente forma: el Arduino adquiere las mediciones del MPU-9250, las envía a través del puerto serial a la interfaz en Python, y este último nodo publica la información en ROS2, donde otros nodos pueden suscribirse para emplear los datos en la simulación y control del robot.

6.6. Diseño del Experimento

El diseño experimental se planteó para validar la posibilidad de convertir la orientación del control en movimientos suaves, estables y repetibles del robot mediante ROS2 y Arduino. La motivación principal surgió de la necesidad de manipular un robot de forma intuitiva, eliminando la complejidad de las interfaces convencionales basadas en pantallas o paneles industriales.

Los controles de videojuegos proporcionan una interfaz familiar y fácil de usar, sensores integrados como acelerómetros y giroscopio, un diseño ergonómico que facilita la precisión y

comodidad, y además ofrecen potencial de retroalimentación háptica. Todo esto los convierte en dispositivos ideales para la operación de robots no convencionales.

El objetivo general del experimento fue controlar un robot esférico paralelo mediante los sensores IMU del control DualSense usando ROS2 y Arduino, garantizando estabilidad, suavidad y precisión. Para lograr esto se plantearon objetivos específicos: obtener una orientación estable utilizando el filtro de Madgwick, convertir esta orientación en ángulos articulares, implementar la cinemática inversa para obtener los pasos de tres motores NEMA 17, enviar los pasos al robot mediante comunicación serial, y validar la coherencia entre la orientación real del control y el movimiento del robot.

Las variables independientes consideradas incluyeron la ganancia del filtro de orientación, el nivel de suavizado aplicado a las señales, la configuración del sensor IMU del control, el offset inicial de calibración, el microstepping configurado en los drivers y la velocidad de los motores. Por otro lado, las variables dependientes fueron la precisión angular del robot, el error acumulado en la orientación, el tiempo de respuesta entre movimiento del control y movimiento del robot, la suavidad del movimiento del manipulador y la estabilidad cuando el control se deja en reposo. Las variables de control incluyeron la rigidez del robot, el voltaje de alimentación, el tipo de motor y drivers, la posición inicial del robot y el tipo de filtro utilizado, que en este caso fue el filtro de Madgwick.

Los materiales y herramientas utilizados para el experimento fueron el control DualSense de PS5, la librería `pydualsense` con un parche aplicado para corregir un error de lectura en el IMU, ROS2 (Jazzy), el filtro de Madgwick, Arduino UNO, motores NEMA 17 con drivers A4988 y la estructura mecánica del robot esférico paralelo.

El procedimiento general consistió en la lectura del IMU del DualSense mediante `pydualsense`, la normalización de los datos del acelerómetro y giróscopo, la aplicación del filtro de Madgwick para obtener orientación en cuaterniones, y la conversión de estos cuaterniones a ángulos (roll, pitch, yaw). Posteriormente se realizó una calibración inicial de 2 segundos basada en un offset promedio, se aplicó la cinemática inversa para obtener los ángulos articulares, y se convirtieron estos ángulos a pasos mediante la expresión de la Ecuación (6.19):

$$\text{pasos} = \frac{200}{16}. \quad (6.19)$$

Finalmente, los pasos absolutos se enviaron mediante puerto serial a Arduino para lograr un movimiento sincronizado de los tres motores.

6.7. Análisis del Experimento

En esta sección se presentan los resultados obtenidos durante la manipulación del robot mediante el control DualSense, así como el análisis de desempeño, estabilidad y precisión del sistema.

Durante el procesamiento de las señales del IMU se observó que las señales del acelerómetro presentaban niveles considerables de ruido, lo cual afectaba inicialmente la estabilidad del sistema. Para mitigar este problema se aplicó un filtro suave que redujo las vibraciones, se empleó el filtro de Madgwick para obtener una orientación estable y se normalizaron los vectores para evitar saturación. Estas técnicas permitieron obtener una orientación limpia y robusta, mejorando significativamente la confiabilidad del sistema.

La calibración mediante offset promedio funcionó correctamente. Al mantener el control inmóvil durante dos segundos, se extrajo la orientación base y se ajustó a [0, 0, 0], lo que permitió que el robot se ubicara correctamente en su posición HOME. Además, el sistema contaba con la posibilidad de recalibración mediante servicios ROS2, facilitando ajustes dinámicos durante la operación.

En cuanto a la cinemática inversa y el movimiento del robot, la conversión de ángulos a pasos absolutos resolvió los problemas de acumulación que ocurrían con pasos relativos. El uso de pasos absolutos eliminó el error acumulado, los motores realizaron movimientos más coherentes y predecibles, y la sincronización de los tres motores evitó comportamientos bruscos, garantizando una manipulación fluida del manipulador.

Durante el experimento se identificaron algunos problemas, como el ruido excesivo generado por el acelerómetro, vibraciones menores en la estructura mecánica, la necesidad de un retardo adicional en Arduino para evitar la saturación del búfer serial, el hecho de que el robot no siempre regresaba a HOME con precisión debido a su ganancia limitada, y que la cinemática inversa producía valores grandes en ciertos ángulos. Sin embargo, los resultados positivos superaron estas dificultades: la orientación obtenida con el filtro de Madgwick fue estable, el movimiento del robot era completamente manipulable, el sistema respondía con suavidad gracias al filtrado, RViz mostraba una orientación limpia sin movimientos bruscos y el control DualSense resultó intuitivo y agradable de usar.

Comparado con métodos tradicionales basados en interfaces industriales, el uso del control DualSense ofreció una experiencia más natural, sin necesidad de programar una interfaz gráfica compleja, y la experiencia de usuario fue significativamente superior. Finalmente, se identificaron líneas futuras de trabajo, tales como implementar retroalimentación háptica basada en un IMU colocado en el efecto final, mejorar la precisión de la cinemática inversa, desarrollar una interfaz gráfica interactiva, migrar la comunicación a ROS2 serial para mayor eficiencia y aplicar la tecnología a sistemas de cámaras de seguimiento.

Bibliografía

- [1] S. Sadeqi *et al.*, “Design and performance analysis of a 3-rrr spherical parallel manipulator.” <https://pmc.ncbi.nlm.nih.gov/articles/PMC6453095/>, 2019. Accessed: 2025-09-26.
- [2] S. Macenski, T. Foote, B. Gerkey, C. Lalancette, and W. Woodall, “Robot operating system 2: Design, architecture, and uses in the wild,” *Science Robotics*, vol. 7, no. 66, p. eabm6074, 2022.
- [3] R. Automation, “Rviz2 - user manual.” <https://turtlebot.github.io/turtlebot4-user-manual/software/rviz.html>, 2025. Accessed: 2025-03-15.
- [4] O. Robotics, “Creating a package.” https://github.com/ros/solidworks_urdf_exporter, 2025. Accessed: 2025-02-25.

Anexo A. Código de python y Arduino

Listing 3: Nodo en Python para la lectura del sensor MPU-9250 y publicación en ROS2.

```
1 import rclpy
2 from rclpy.node import Node
3 import serial
4 import time
5
6 from geometry_msgs.msg import Vector3
7 from sensor_msgs.msg import Imu, MagneticField
8 from std_msgs.msg import Header
9
10 import numpy as np
11
12 class MPU9250Node(Node):
13     def __init__(self):
14         super().__init__('mpu9250_node')
15
16         self.port = '/dev/ttyACM2'
17         self.baud = 115200
18         self.ser = None
19
20         self.connect_serial()
21
22         self.timer = self.create_timer(0.1, self.read_serial)
23
24         self.imu = Imu()
25         self.mag = MagneticField()
26
27         self.imu_pub = self.create_publisher(Imu, 'imu/data_raw', 10)
28         self.mag_pub = self.create_publisher(MagneticField, 'imu/mag', 10)
29
30     def connect_serial(self):
31         while self.ser is None:
32             try:
33                 self.ser = serial.Serial(self.port, self.baud, timeout=1)
34                 self.get_logger().info(f'Conectado a {self.port}')
35             except serial.SerialException as e:
36                 self.get_logger().warn(f'No se pudo abrir {self.port}: {e}')
37                 time.sleep(2)
38
39     def read_serial(self):
40         if self.ser is None:
41             self.connect_serial()
42             return
43
44         try:
45             line = self.ser.readline().decode(errors='ignore').strip()
46             if not line:
47                 return
```

```

48
49     parts = line.split(';')
50     if len(parts) < 3:
51         self.get_logger().warn(f"Linea incompleta ignorada: {line}")
52         return
53
54     try:
55         accel_data = [float(v) for v in parts[0].replace('ACCEL:', ',').split(',')]
56         gyro_data = [float(v) for v in parts[1].replace('GYRO:', ',').split(',')]
57         mag_data = [float(v) for v in parts[2].replace('MAG:', ',').split(',')]
58
59         accx, accy, accz = accel_data
60         gx, gy, gz = np.deg2rad(gyro_data)
61         mx, my, mz = mag_data
62
63         header = Header()
64         header.frame_id = 'imu'
65         header.stamp = self.get_clock().now().to_msg()
66
67         self.imu.header = header
68         self.imu.angular_velocity.x = gx
69         self.imu.angular_velocity.y = gy
70         self.imu.angular_velocity.z = gz
71         self.imu.linear_acceleration.x = accx
72         self.imu.linear_acceleration.y = accy
73         self.imu.linear_acceleration.z = accz
74
75         self.mag.header = header
76         self.mag.magnetic_field.x = mx
77         self.mag.magnetic_field.y = my
78         self.mag.magnetic_field.z = mz
79
80         self imu_pub.publish(self imu)
81         self mag_pub.publish(self mag)
82
83     except ValueError:
84         self.get_logger().warn(f"No se pudo convertir a float: {line}")
85         return
86
87     self.get_logger().info(f"ACCEL: {accel_data} | GYRO: {gyro_data} | MAG: {mag_data}")
88
89     except serial.SerialException as e:
90         self.get_logger().warn(f"Error de serial: {e}")
91         self.ser.close()
92         self.ser = None
93
94 def main(args=None):

```

```

95     rclpy.init(args=args)
96     node = MPU9250Node()
97     try:
98         rclpy.spin(node)
99     except KeyboardInterrupt:
100        pass
101    finally:
102        if node.ser is not None:
103            node.ser.close()
104        node.destroy_node()
105        rclpy.shutdown()
106
107 if __name__ == '__main__':
108     main()

```

Listing 4: Nodo suscriptor en Python para escuchar el tópico `topico_steps`.

```

1 from rclpy.node import Node
2 from std_msgs.msg import String
3 import rclpy
4
5 class PreSubscriber(Node):
6
7     def __init__(self):
8         super().__init__('pre_subscriber')
9         self.subscription = self.create_subscription(
10             String,
11             'topico_steps',
12             self.listener_callback,
13             10)
14         self.subscription # evitar advertencia de variable no usada
15
16     def listener_callback(self, msg):
17         self.get_logger().info('I heard: "%s"', % msg.data)
18
19
20 def main(args=None):
21     rclpy.init(args=args)
22
23     pre_subscriber = PreSubscriber()
24
25     rclpy.spin(pre_subscriber)
26
27     # Destruir el nodo explicitamente
28     pre_subscriber.destroy_node()
29     rclpy.shutdown()
30
31
32 if __name__ == '__main__':
33     main()

```

Listing 5: Código en Arduino para la lectura del sensor MPU-9250 y envío de datos vía puerto serial.

```

1 #include <Wire.h>
2 #include <MPU9250_asukiaaa.h>
3
4 MPU9250_asukiaaa mySensor;
5
6 void setup() {
7     Serial.begin(115200);
8     Wire.begin();
9
10    mySensor.setWire(&Wire);
11    mySensor.beginAccel();
12    mySensor.beginGyro();
13    mySensor.beginMag();
14}
15
16 void loop() {
17     mySensor.accelUpdate();
18     mySensor.gyroUpdate();
19     mySensor.magUpdate();
20
21     Serial.print("ACCEL:");
22     Serial.print(mySensor.accelX());
23     Serial.print(", ");
24     Serial.print(mySensor.accelY());
25     Serial.print(", ");
26     Serial.print(mySensor.accelZ());
27     Serial.print("; GYRO:");
28     Serial.print(mySensor.gyroX());
29     Serial.print(", ");
30     Serial.print(mySensor.gyroY());
31     Serial.print(", ");
32     Serial.print(mySensor.gyroZ());
33     Serial.print("; MAG:");
34     Serial.print(mySensor.magX());
35     Serial.print(", ");
36     Serial.print(mySensor.magY());
37     Serial.print(", ");
38     Serial.println(mySensor.magZ());
39     delay(100);
40}

```

Listing 6: Código Nodo Publicador de Datos del Control.

```

1 #! /usr/local/bin python3
2
3 import rclpy
4 from rclpy.node import Node
5 from rclpy.publisher import Publisher
6 from scipy.ndimage import gaussian_filter1d
7 from std_msgs.msg import Header
8 from sensor_msgs.msg import Imu
9 import time
10 import matplotlib.pyplot as plt
11 from pydualsense import pydualsense

```

```

12 import numpy as np
13 import re
14
15 class ControllerBridge(Node):
16     def __init__(self):
17         super().__init__('controller_bridge')
18
19         self.imu = Imu()
20         self.imu_pub = self.create_publisher(Imu, 'imu/data_raw', 15)
21
22         freq = 15 # Hz
23         self.timer = self.create_timer(1 / freq, self.timer_callback)
24
25         # Conexion con el mando
26         self.controller = pydualsense()
27         self.controller.init()
28
29         # Inicializar variables
30         self.accx = self.accy = self.accz = 0.0
31         self.gx = self gy = self.gz = 0.0
32
33         # Calibracion
34         self.calibrating = True
35         self.calibration_samples = []
36         self.calibration_duration = 2.0 # segundos
37         self.start_time = self.get_clock().now()
38
39         self.bias_ax = 0.0
40         self.bias_ay = 0.0
41         self.bias_az = 0.0
42         self.bias_gx = 0.0
43         self.bias_gy = 0.0
44         self.bias_gz = 0.0
45
46         # Buffer del giroscopio
47         self.buffer_size = 15
48         self.gyro_data = np.zeros((0, 3))
49
50     def timer_callback(self):
51         now = self.get_clock().now()
52
53         # Lectura del Control
54         self.accx = float(self.controller.state.accelerometer.X)
55         self.accy = float(self.controller.state.accelerometer.Y)
56         self.accz = float(self.controller.state.accelerometer.Z)
57
58         acc = np.array([self.accx, self.accy, self.accz])
59         acc = acc / np.linalg.norm(acc) * 9.81
60         self.accx, self.accy, self.accz = acc
61
62         self.gx = float(np.deg2rad(self.controller.state.gyro.Roll *
63             0.1))
64         self.gy = float(np.deg2rad(self.controller.state.gyro.Pitch *

```

```

    0.1))
64 self.gz = float(np.deg2rad(self.controller.state.gyro.Yaw *
    0.1))

65
66 # Calibracion (2s)
67 if self.calibrating:
68     elapsed = (now - self.start_time).nanoseconds / 1e9

69
70     # Guardar muestras
71     self.calibration_samples.append([
72         self.accx, self.accy, self.accz,
73         self.gx, self.gy, self.gz
74     ])

75
76     if elapsed < self.calibration_duration:
77         self.get_logger().info("Calibrando... NO MUEVAS EL
    CONTROL")
78     return

79
80 # Terminar calibracion
81 samples = np.array(self.calibration_samples)
82 acc_mean = samples[:, 0:3].mean(axis=0)
83 gyro_mean = samples[:, 3:6].mean(axis=0)

84
85 # Bias esperado: acc = [0, 9.81, 0]
86 self.bias_ax = acc_mean[0] - 0.0
87 self.bias_ay = acc_mean[1] - 9.81
88 self.bias_az = acc_mean[2] - 0.0

89
90 # Gyro debe ser 0
91 self.bias_gx = gyro_mean[0]
92 self.bias_gy = gyro_mean[1]
93 self.bias_gz = gyro_mean[2]

94
95 self.calibrating = False
96 self.get_logger().info(">>> Calibracion completa <<<")
97 self.get_logger().info(f"Bias acc: {self.bias_ax:.4f}, {
    self.bias_ay:.4f}, {self.bias_az:.4f}")
98 self.get_logger().info(f"Bias gyro: {self.bias_gx:.6f}, {
    self.bias_gy:.6f}, {self.bias_gz:.6f}")
99 return

100
101 # Calibracion
102 acc_x = self.accx - self.bias_ax
103 acc_y = self.accy - self.bias_ay
104 acc_z = self.accz - self.bias_az

105
106 gx_c = self.gx - self.bias_gx
107 gy_c = self.gy - self.bias_gy
108 gz_c = self.gz - self.bias_gz

109
110 # Suavizado del Giroscopio
111 new_row = np.array([[gx_c, gy_c, gz_c]])

```

```

112         self.gyro_data = np.vstack([self.gyro_data, new_row])
113
114     if len(self.gyro_data) > self.buffer_size:
115         self.gyro_data = self.gyro_data[-self.buffer_size:]
116
117     if len(self.gyro_data) >= 5:
118         gx_s = gaussian_filter1d(self.gyro_data[:, 0], sigma=2)[-1]
119         gy_s = gaussian_filter1d(self.gyro_data[:, 1], sigma=2)[-1]
120         gz_s = gaussian_filter1d(self.gyro_data[:, 2], sigma=2)[-1]
121     else:
122         gx_s, gy_s, gz_s = gx_c, gy_c, gz_c
123
124     # Publicar
125
126     self.imu.header.stamp = self.get_clock().now().to_msg()
127     self.imu.header.frame_id = 'imu'
128
129     self.imu.angular_velocity.x = gx_s
130     self.imu.angular_velocity.y = gy_s
131     self.imu.angular_velocity.z = gz_s
132
133     self.imu.linear_acceleration.x = acc_x
134     self.imu.linear_acceleration.y = acc_y
135     self.imu.linear_acceleration.z = acc_z
136
137     self.imu.orientation.w = 1.0
138
139     self imu_pub.publish(self imu)
140
141     # Debug
142     self.get_logger().info(f"Accelerometer: {acc_x:.3f}, {acc_y:.3f}
143     , {acc_z:.3f}")
144     self.get_logger().info(f"gyroscope: {gx_s:.3f}, {gy_s:.3f}, {
145     gz_s:.3f}")
146
147 def main(args = None):
148     rclpy.init(args = args)
149
150     controller_bridge = ControllerBridge()
151
152     rclpy.spin(controller_bridge)
153
154     controller_bridge.destroy_node()
155     rclpy.shutdown()
156
157 if __name__ == '__main__':
158     main()

```

Listing 7: Código Nodo Suscriptor del Filtro Madgwick Cinematica Inversa.

```

1 #!/usr/bin/env python3
2 import rclpy
3 from rclpy.node import Node

```

```

4 import numpy as np
5 import math
6 from sensor_msgs.msg import Imu
7 from std_msgs.msg import Int32MultiArray
8 import time
9 import serial
10
11
12 def angles_to_steps(q, steps_per_rev, microsteps, gear_ratio):
13     steps_per_rad = (steps_per_rev * microsteps * gear_ratio) / (2 *
14         math.pi)
15     return [int(angle * steps_per_rad) for angle in q]
16
17 class MadgwickIKNode(Node):
18     def __init__(self):
19
20         super().__init__('madgwick_inverse_kinematics')
21
22         self.sub = self.create_subscription(
23             Imu, '/imu/data', self.cb, 10)
24
25         self.pub = self.create_publisher(
26             Int32MultiArray, '/spm/steps', 10)
27
28         # ----- SERIAL -----
29         self.serial_port = "/dev/ttyACM8"
30         try:
31             self.serial = serial.Serial(self.serial_port, 9600, timeout
32             =0.1)
33             time.sleep(2)
34             self.get_logger().info("Arduino conectado.")
35         except Exception as e:
36             self.get_logger().error(f"Error serial: {e}")
37             self.serial = None
38
39         self.waiting_ack = False      # esperando respuesta del Arduino
40         self.last_command = None    # ultimo comando enviado
41         self.last_send_time = time.time()
42
43         # Parametros
44         self.alpha_joints = 0.10
45         self.joint_filtered = np.zeros(3)
46         self.GAIN = 0.5
47
48         self.steps_per_rev = 200
49         self.microsteps = 16
50         self.gear_ratio = 1.0
51         self.home_offset = np.array([700, 700, 700])
52
53         # Calibracion IMU
54         self.calibrating = True
55         self.calibration_start_time = time.time()

```

```

55         self.calibration_duration = 2.0
56         self.calibration_samples = []
57         self.offset = np.zeros(3)
58
59     # =====
60     #       Lee si Arduino respondio "OK"
61     # =====
62     def read_arduino(self):
63         if not self.serial:
64             return False
65
66         try:
67             line = self.serial.readline().decode().strip()
68             if line != "":
69                 self.get_logger().info(f"[ARDUINO] {line}")
70             if line == "OK" or line == "READY":
71                 return True
72         except:
73             pass
74
75         return False
76
77     # =====
78     #           Callback IMU
79     # =====
80     def cb(self, msg: Imu):
81
82         # Si estamos esperando OK del Arduino no mandar nada
83         if self.waiting_ack:
84             if self.read_arduino():
85                 self.waiting_ack = False
86             else:
87                 return
88
89         # POSICION IMU
90         qw, qx, qy, qz = msg.orientation.w, msg.orientation.x, msg.
91             orientation.y, msg.orientation.z
92
93         roll = math.atan2(2*(qw*qx + qy*qz), 1 - 2*(qx*qx + qy*qy))
94         pitch = math.asin(2*(qw*qy - qz*qx))
95         yaw = math.atan2(2*(qw*qz + qx*qy), 1 - 2*(qy*qy + qz*qz))
96
97         q_arr = np.array([roll, pitch, yaw])
98
99         # ----- Calibracion -----
100        if self.calibrating:
101            self.calibration_samples.append(q_arr)
102            if time.time() - self.calibration_start_time >= self.
103                calibration_duration:
104                self.offset = np.mean(self.calibration_samples, axis=0)
105                self.calibrating = False
106                self.get_logger().info("Calibracion completada.")
107        else:

```

```

106         return
107
108     q_arr = q_arr - self.offset
109
110     # ----- Unwrap + filtro -----
111     diff = q_arr - self.joint_filtered
112     diff = (diff + math.pi) % (2 * math.pi) - math.pi
113     q_arr = self.joint_filtered + diff
114
115     q_smooth = self.alpha_joints * q_arr + (1 - self.alpha_joints)
116         * self.joint_filtered
117     self.joint_filtered = q_smooth
118
119     q_gain = self.joint_filtered * self.GAIN
120
121     # ----- IK pasos relativos -----
122     rel_steps = angles_to_steps(q_gain, self.steps_per_rev, self.
123         microsteps, self.gear_ratio)
124
125     abs_steps = (self.home_offset + np.array(rel_steps)).astype(int)
126
127     if not hasattr(self, "last_steps"):
128         self.last_steps = abs_steps.copy()
129
130     if np.all(np.abs(abs_steps - self.last_steps) < 3):
131         return
132
133     self.last_steps = abs_steps.copy()
134
135     if self.serial:
136         serial_msg = f"{abs_steps[0]},{abs_steps[1]},{abs_steps
137             [2]}\n"
138         self.serial.write(serial_msg.encode())
139         self.waiting_ack = True           # ahora esperamos
140             confirmacion
141
142         # Publicar en ROS
143         ros_msg = Int32MultiArray()
144         ros_msg.data = abs_steps
145         self.pub.publish(ros_msg)
146
147     self.get_logger().info(f"Steps to Arduino: {abs_steps}")
148
149 def main(args=None):
150     rclpy.init(args=args)
151     node = MadgwickIKNode()
152     rclpy.spin(node)
153     node.destroy_node()
154     rclpy.shutdown()

```

```

154 if __name__ == '__main__':
155     main()

```

Listing 8: Enviando Señales Seriales desde Ros2

```

1 // =====
2 // Pines CNC Shield + A4988
3 // =====
4
5 #define DIR1 8
6 #define STEP1 9
7
8 #define DIR2 3
9 #define STEP2 2
10
11 #define DIR3 4
12 #define STEP3 5
13
14 #define ENABLE 7    // Activo en LOW
15
16 // HOME ABSOLUTO
17 long pos1 = 0, pos2 = 0, pos3 = 0;
18 const long HOME1 = 700;
19 const long HOME2 = 700;
20 const long HOME3 = 700;
21
22 #define STEP_DELAY 700
23
24 // =====
25 // Setup
26 // =====
27 void setup() {
28     Serial.begin(9600);
29     delay(1000);
30
31     pinMode(DIR1, OUTPUT); pinMode(STEP1, OUTPUT);
32     pinMode(DIR2, OUTPUT); pinMode(STEP2, OUTPUT);
33     pinMode(DIR3, OUTPUT); pinMode(STEP3, OUTPUT);
34     pinMode(ENABLE, OUTPUT);
35     digitalWrite(ENABLE, LOW);    // Activar drivers
36
37     Serial.println("Sistema iniciando... ");
38     Serial.println("Moviendo al HOME [700,700,700] ");
39
40     // MOVER A HOME COMO ABSOLUTO
41     moverSimultaneo(HOME1, HOME2, HOME3, STEP_DELAY);
42
43     pos1 = HOME1;
44     pos2 = HOME2;
45     pos3 = HOME3;
46
47     Serial.println("HOME alcanzado.");
48     Serial.println("Esperando posiciones ABSOLUTAS... ");
49 }

```

```

50
51 void moverSimultaneo(long t1, long t2, long t3, long delstep) {
52
53     long d1 = t1 - pos1;
54     long d2 = t2 - pos2;
55     long d3 = t3 - pos3;
56
57     long a1 = abs(d1);
58     long a2 = abs(d2);
59     long a3 = abs(d3);
60
61     long maxSteps = max(a1, max(a2, a3));
62     if (maxSteps == 0) return;
63
64     // Direcciones
65     digitalWrite(DIR1, (d1 > 0) ? HIGH : LOW);
66     digitalWrite(DIR2, (d2 > 0) ? HIGH : LOW);
67     digitalWrite(DIR3, (d3 > 0) ? HIGH : LOW);
68
69     for (long i = 0; i < maxSteps; i++) {
70
71         if (i * a1 / maxSteps < a1) digitalWrite(STEP1, HIGH);
72         if (i * a2 / maxSteps < a2) digitalWrite(STEP2, HIGH);
73         if (i * a3 / maxSteps < a3) digitalWrite(STEP3, HIGH);
74
75         delayMicroseconds(delstep);
76
77         digitalWrite(STEP1, LOW);
78         digitalWrite(STEP2, LOW);
79         digitalWrite(STEP3, LOW);
80
81         delayMicroseconds(delstep);
82     }
83
84     // Actualizar a la nueva posicion absoluta
85     pos1 = t1;
86     pos2 = t2;
87     pos3 = t3;
88 }
89
90 // =====
91 // Loop recibir POSICIONES ABSOLUTAS desde ROS
92 // Formato: x,y,z
93 // =====
94 void loop() {
95
96     if (Serial.available()) {
97         String data = Serial.readStringUntil('\n');
98
99         // Si la linea esta incompleta o muy larga, descartar
100        if (data.length() < 3 || data.length() > 20) {
101            Serial.println("ERR linea_corrupta");
102            return;

```

```

103 }
104
105     data.trim();
106
107
108     for (char c : data) {
109         if (!isdigit(c) && c != ',' && c != '-') {
110             Serial.println("ERR caracteres_invalidos");
111             return;
112         }
113     }
114
115 // Buscar comas
116 int c1 = data.indexOf(',');
117 int c2 = data.lastIndexOf(',');
118
119 if (c1 < 0 || c2 < 0 || c1 >= c2) {
120     Serial.println("ERR formato");
121     return;
122 }
123
124 long t1 = data.substring(0, c1).toInt();
125 long t2 = data.substring(c1 + 1, c2).toInt();
126 long t3 = data.substring(c2 + 1).toInt();
127
128 // ---- Validar rangos ----
129 if (t1 < 0 || t1 > 1400 ||
130     t2 < 0 || t2 > 1400 ||
131     t3 < 0 || t3 > 1400) {
132     Serial.println("ERR fuera_de_rango");
133     return;
134 }
135
136 Serial.print("ABS recibidos: ");
137 Serial.print(t1); Serial.print(",");
138 Serial.print(t2); Serial.println(t3);
139
140 moverSimultaneo(t1, t2, t3, 350);
141
142 Serial.println("OK");
143 }
144 }
```

Anexo B. Planos de piezas

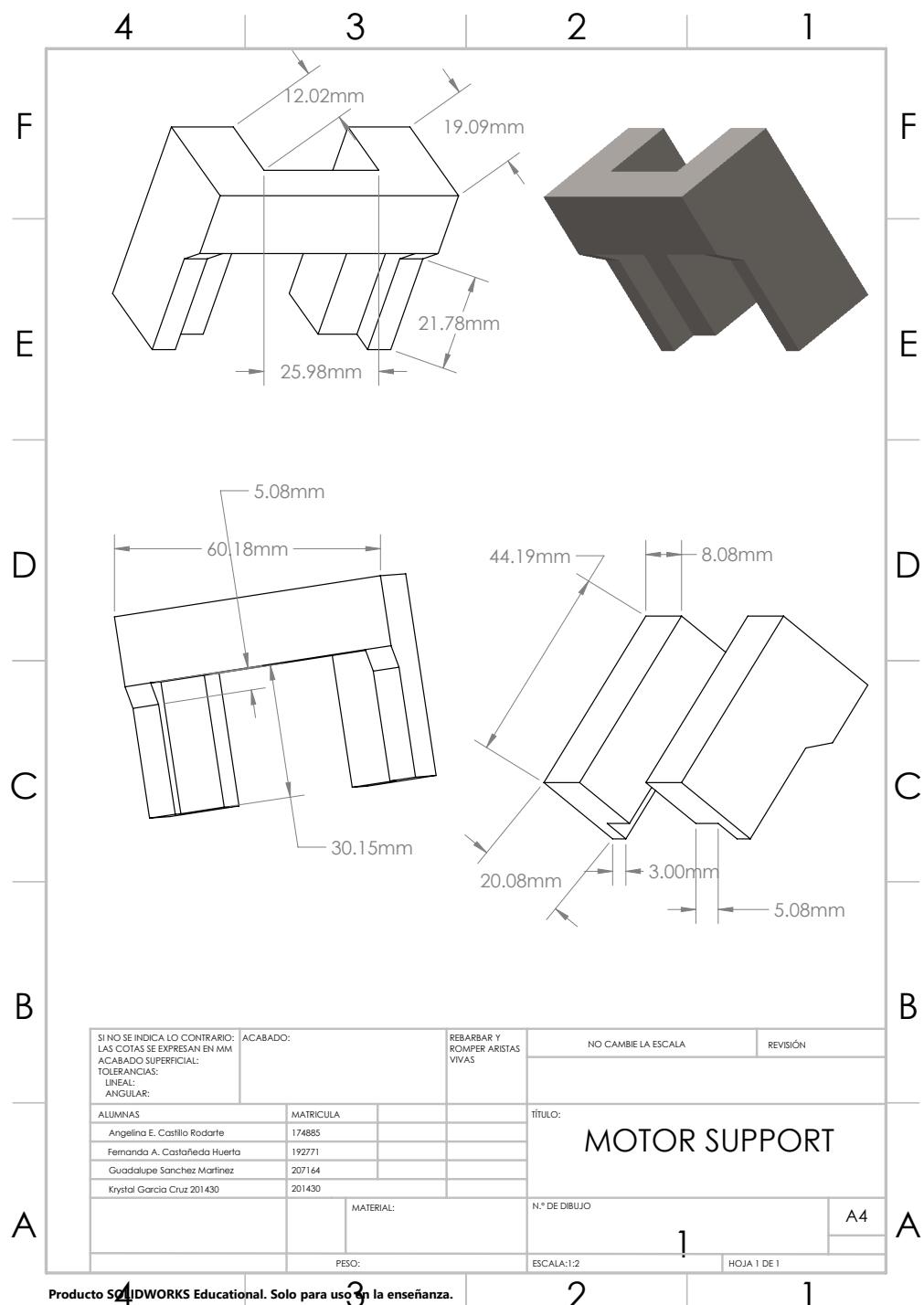


Figura 2: Planos del Motor Support.

Anexo C. Esquemas electrónicos

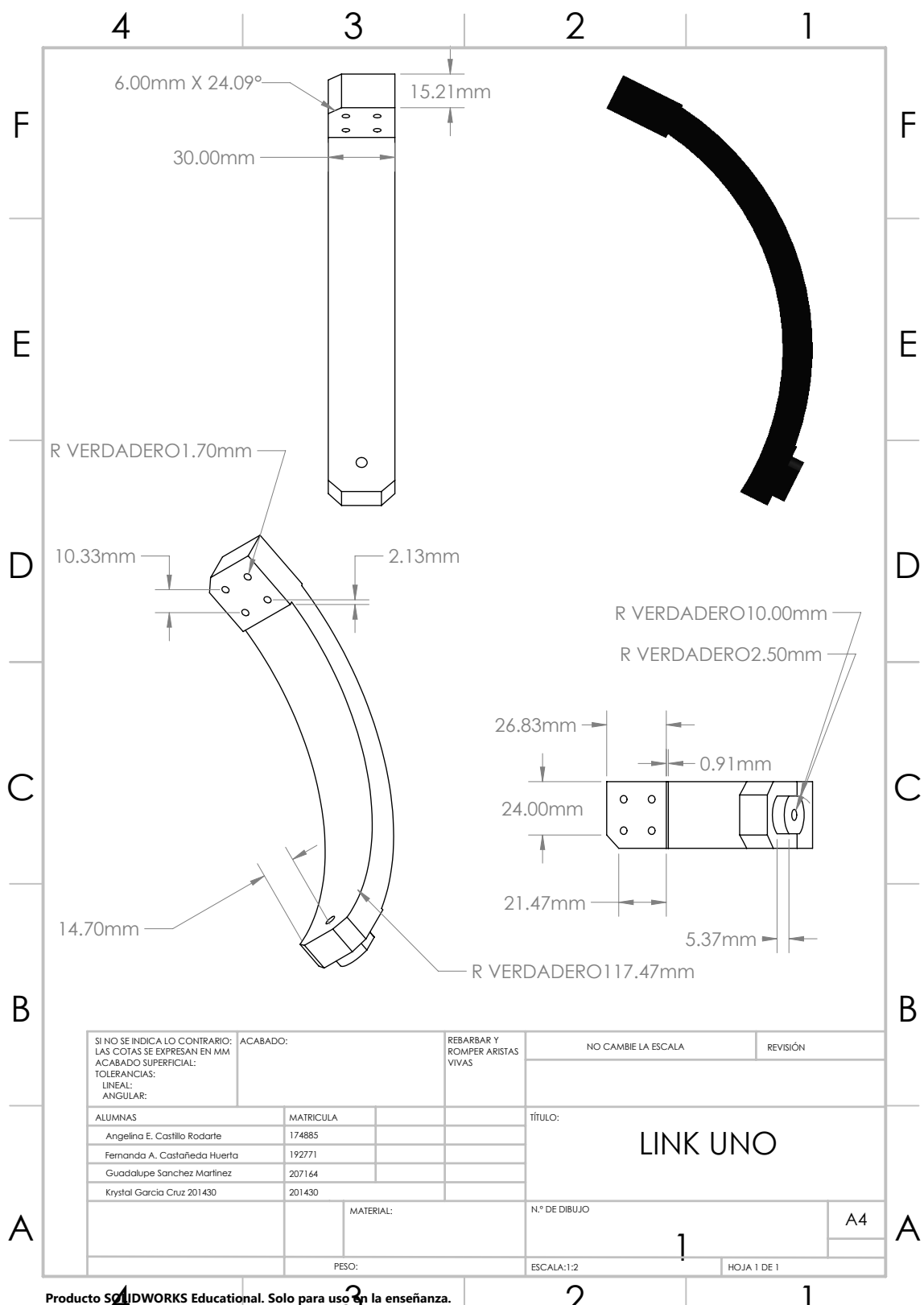


Figura 3: Link 1

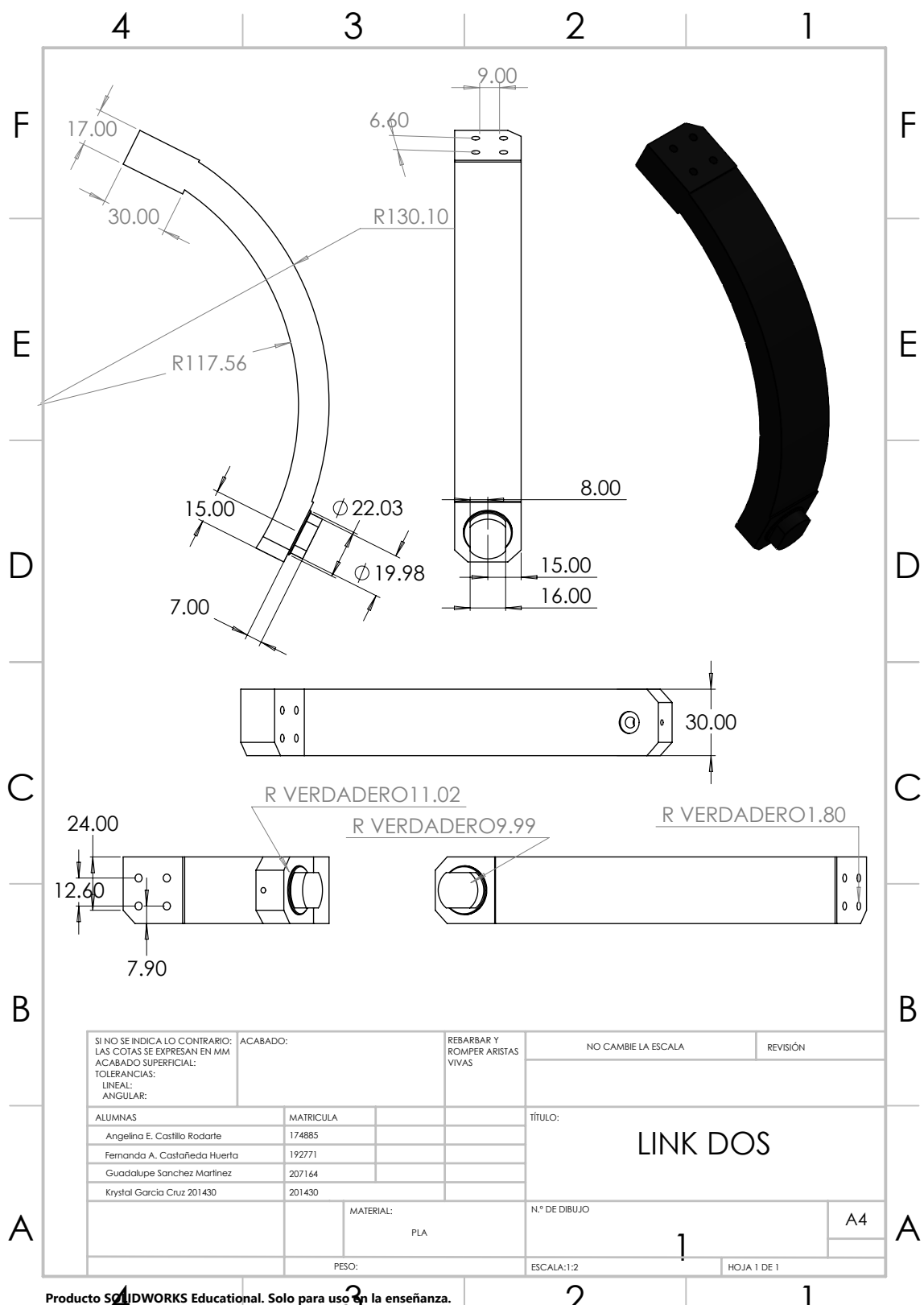


Figura 4: Link 2

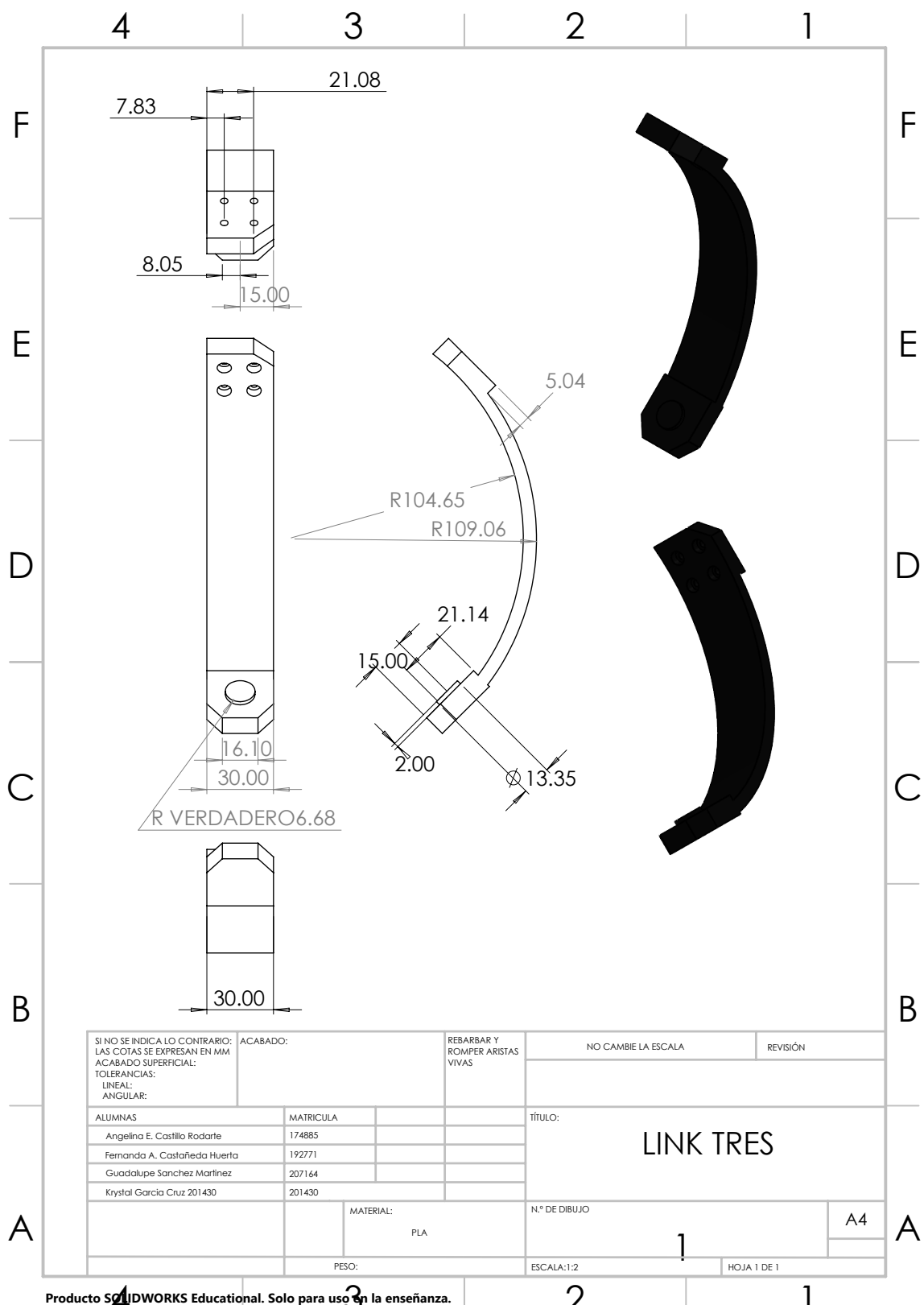


Figura 5: Link 3

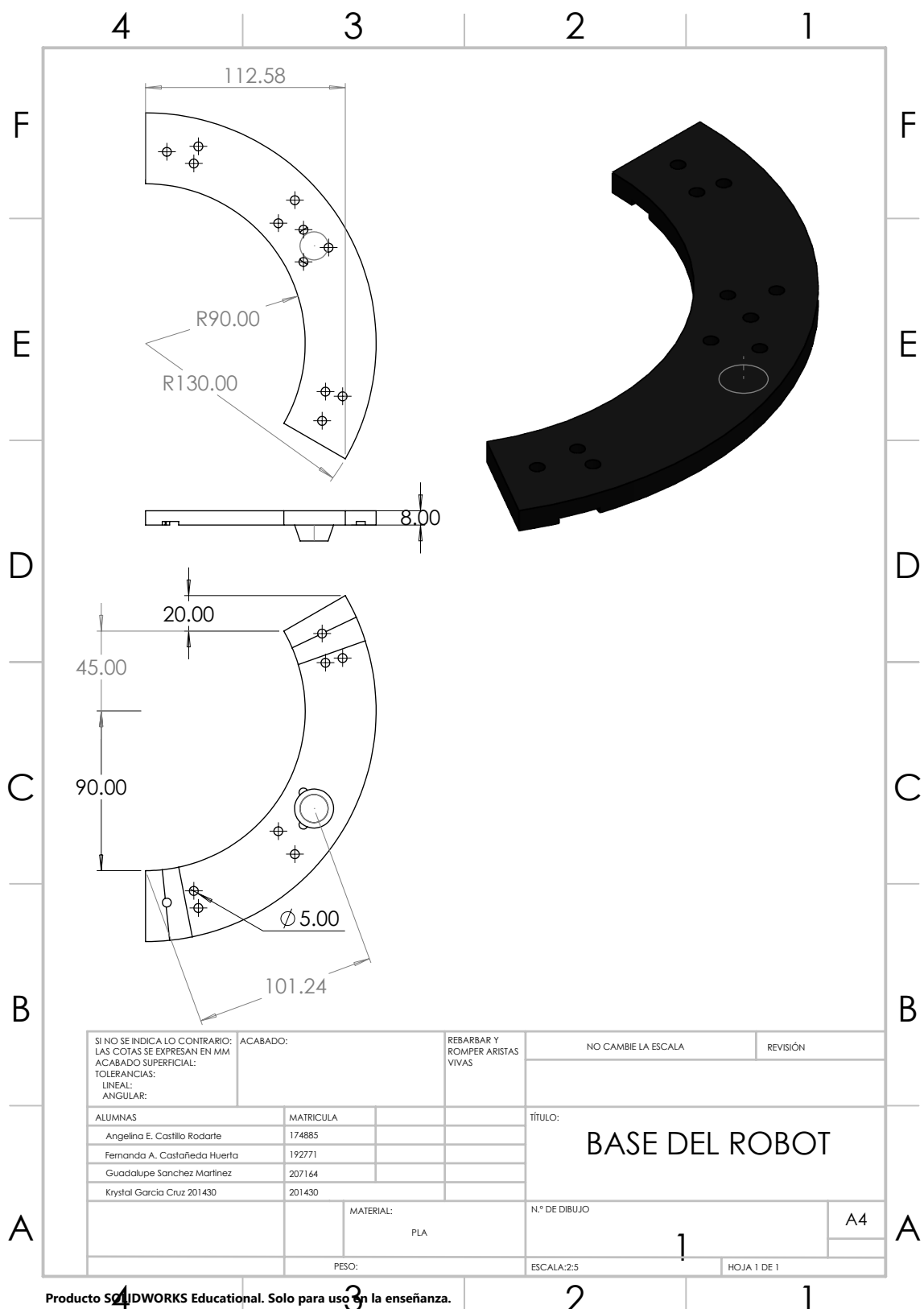


Figura 6: Parte de base para ensamblar del robot

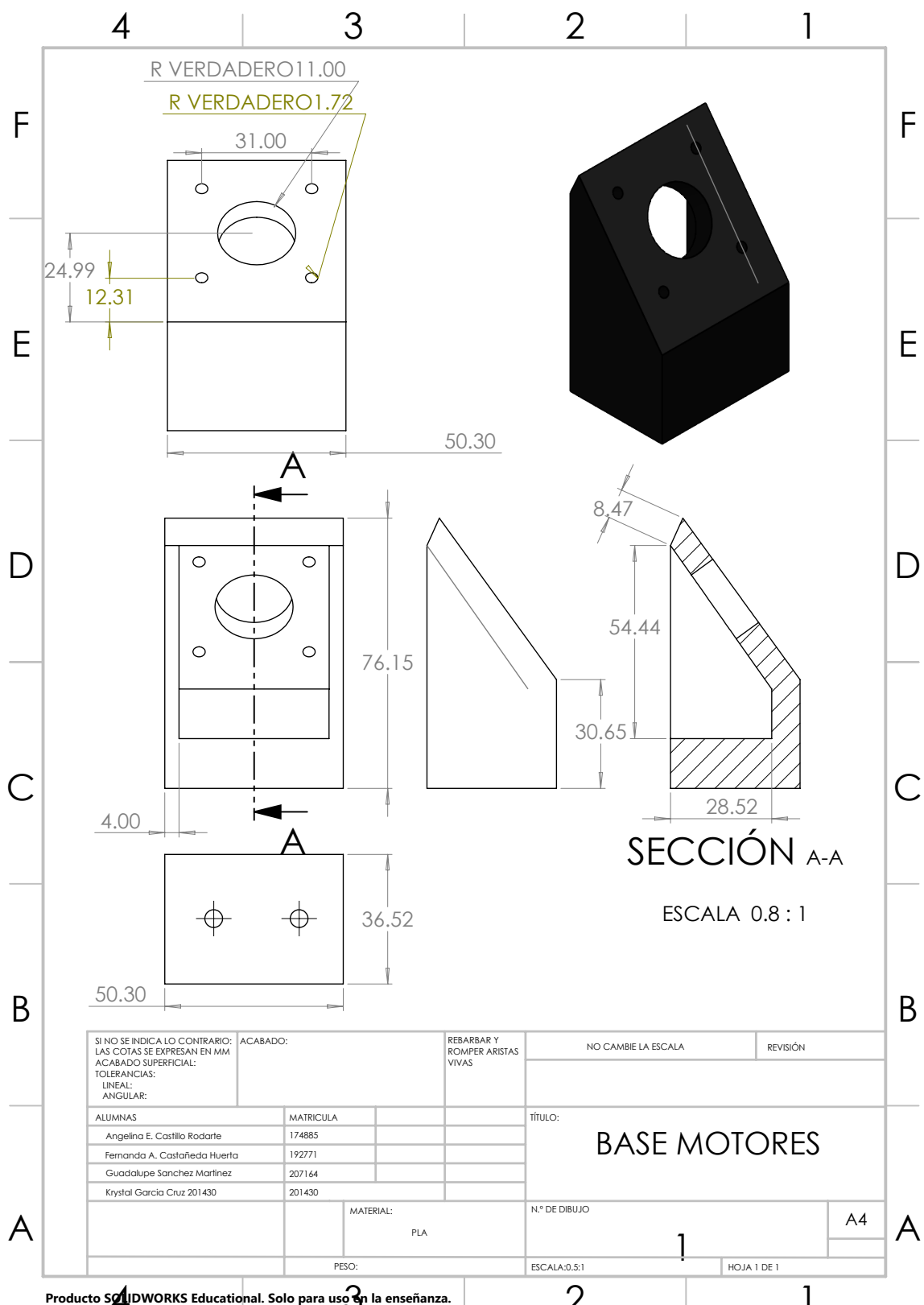


Figura 7: Base de motores nema 17

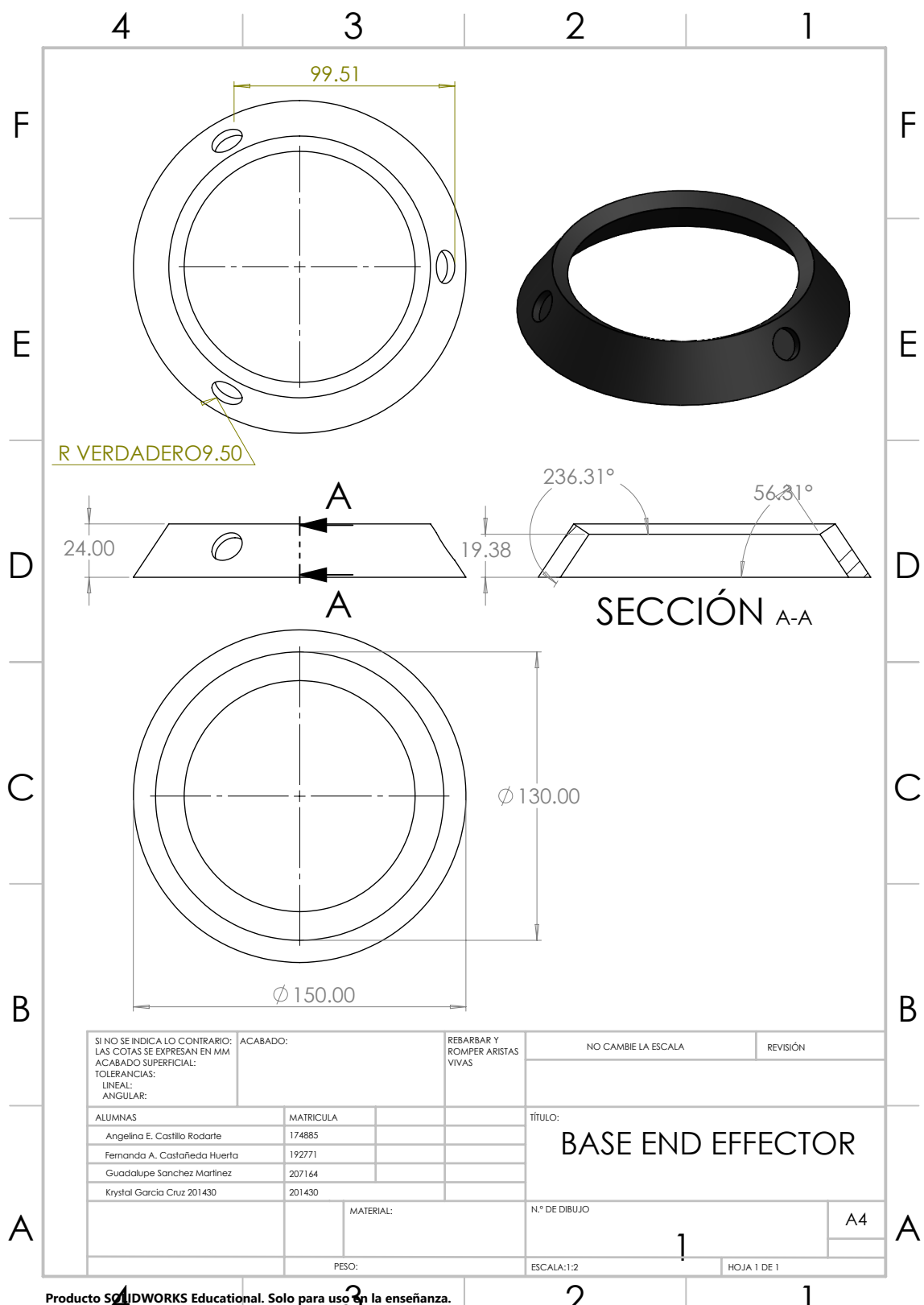


Figura 8: Aro de end- effector del robot

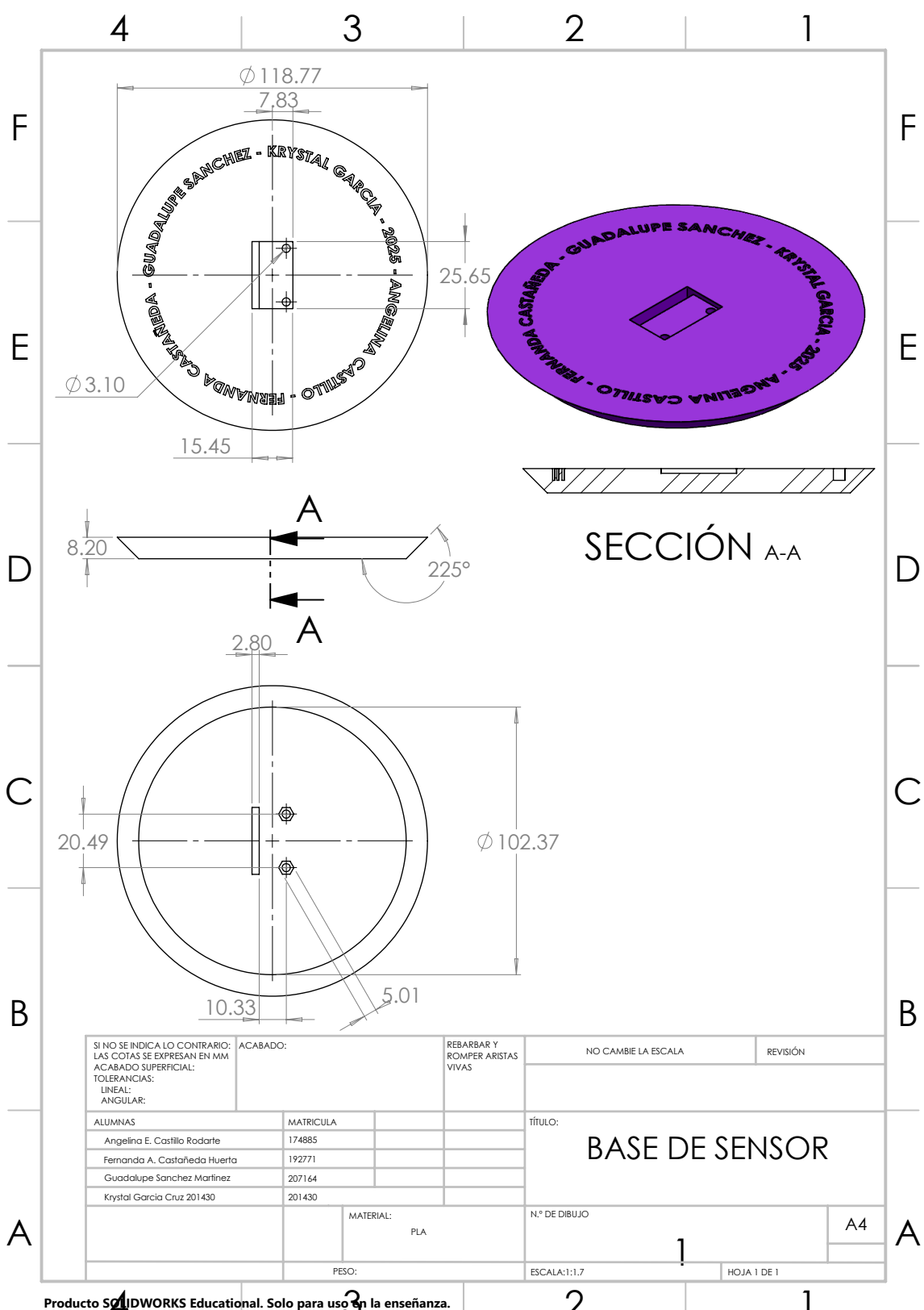


Figura 9: Base del sensor

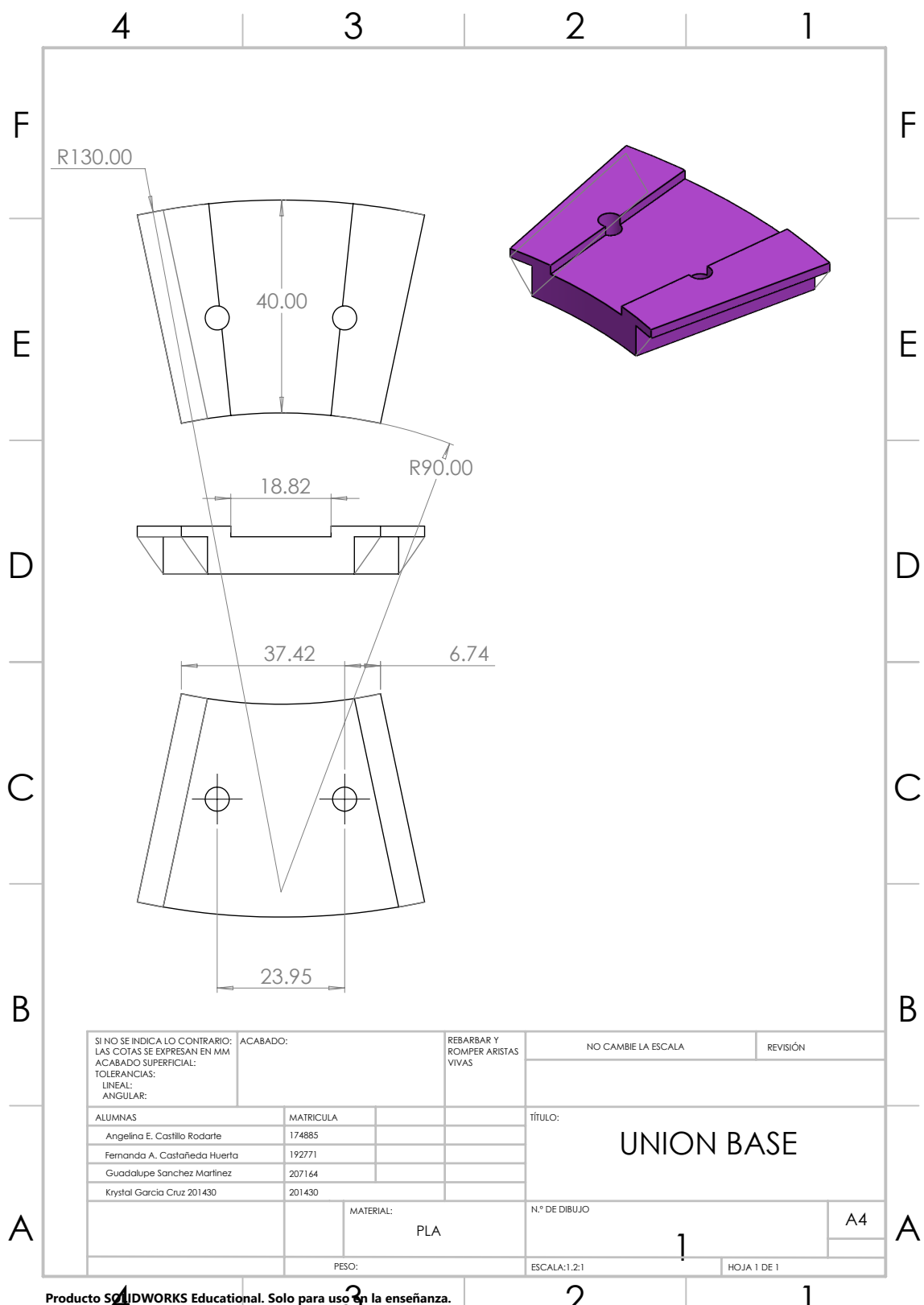


Figura 10: Pieza unión de base

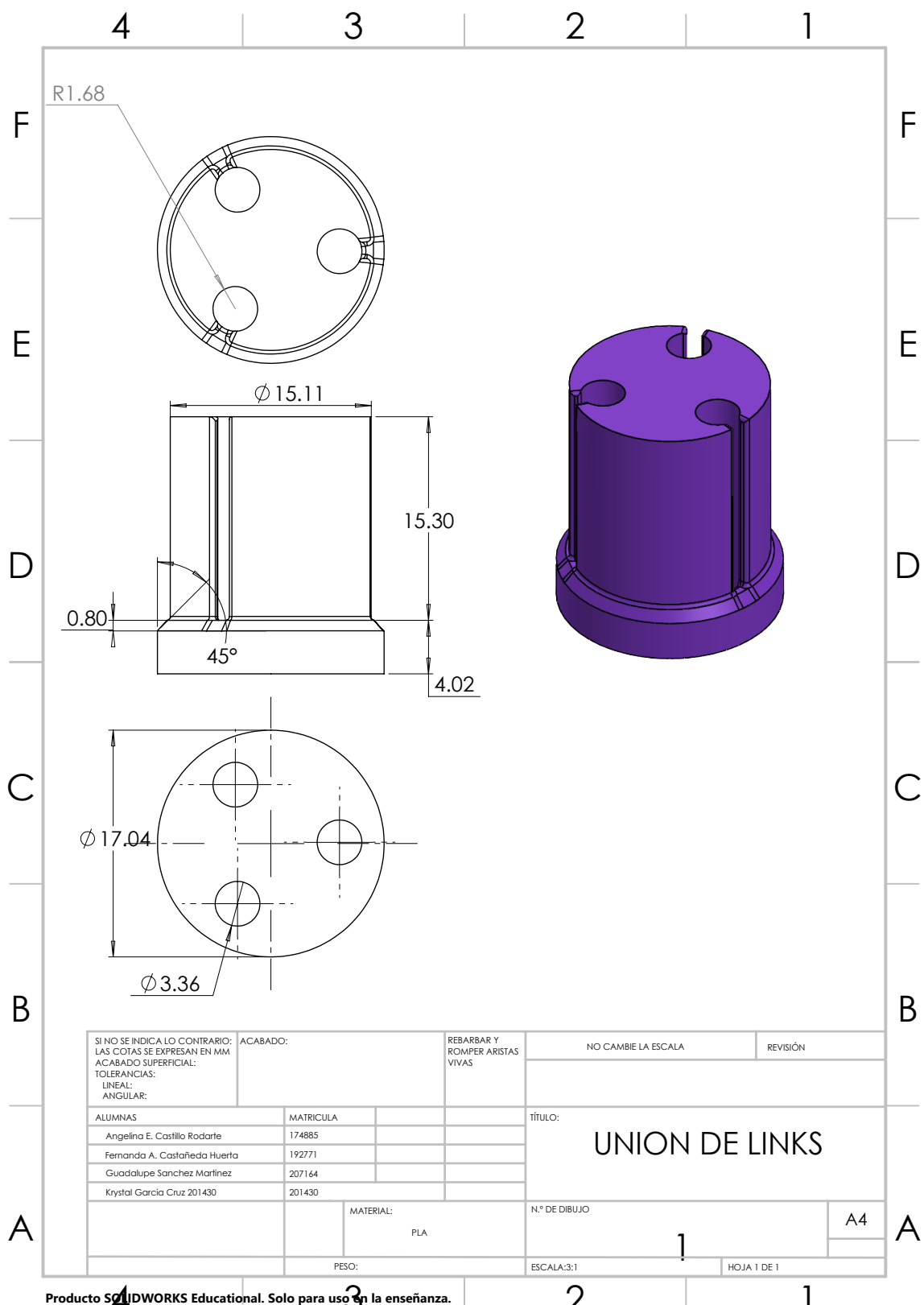


Figura 11: Pieza de unión de linos

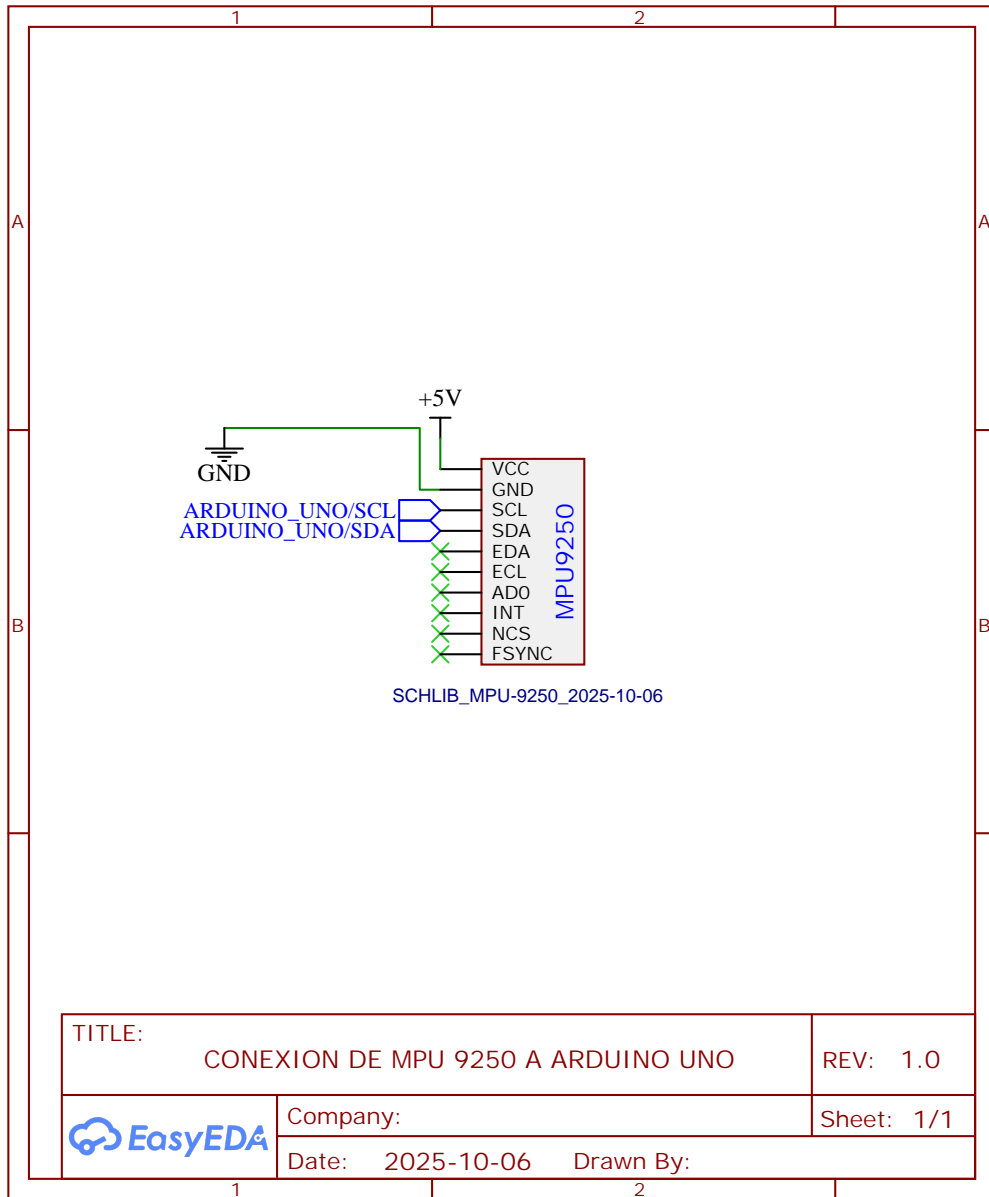
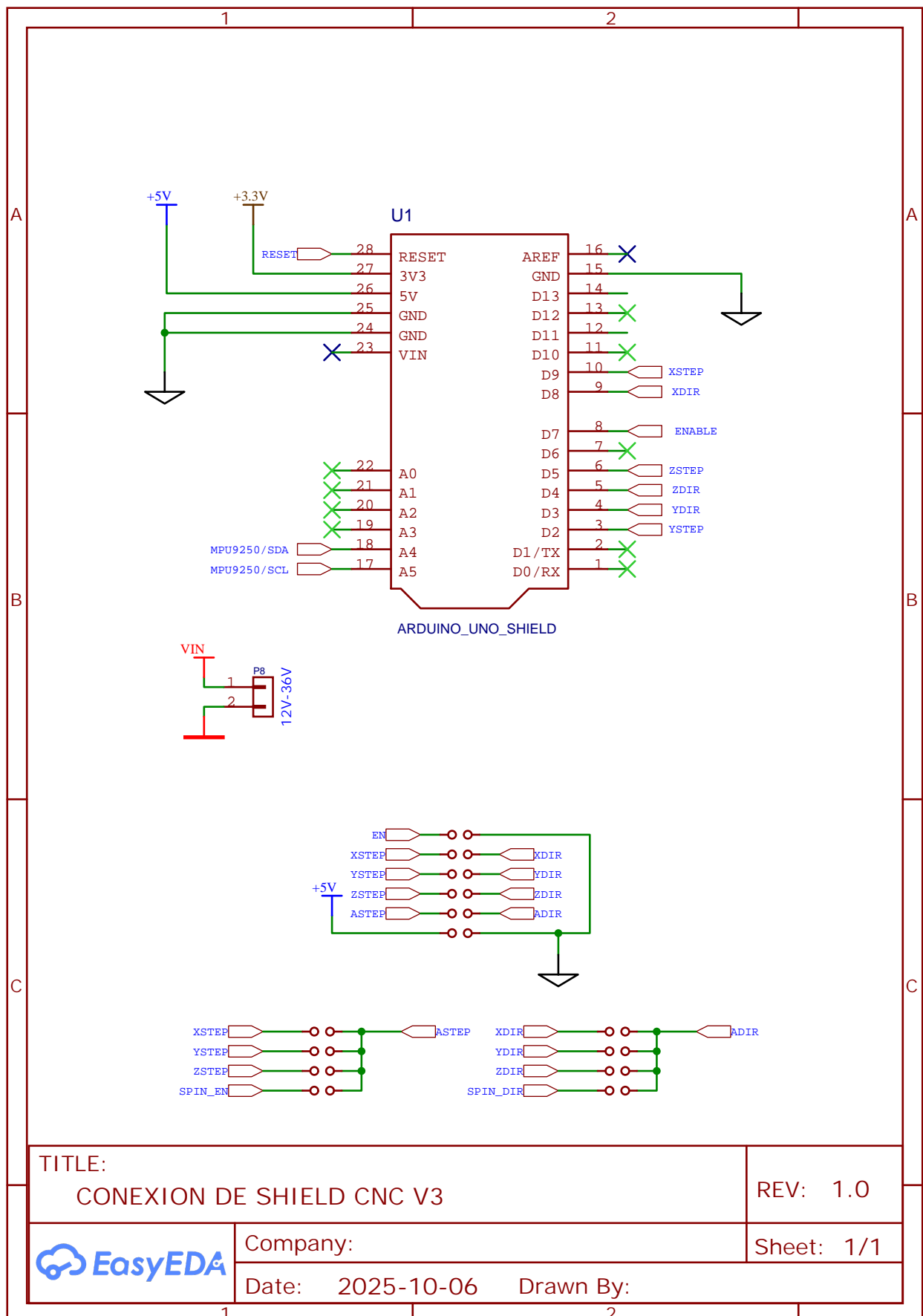


Figura 12: Conexión general del robot



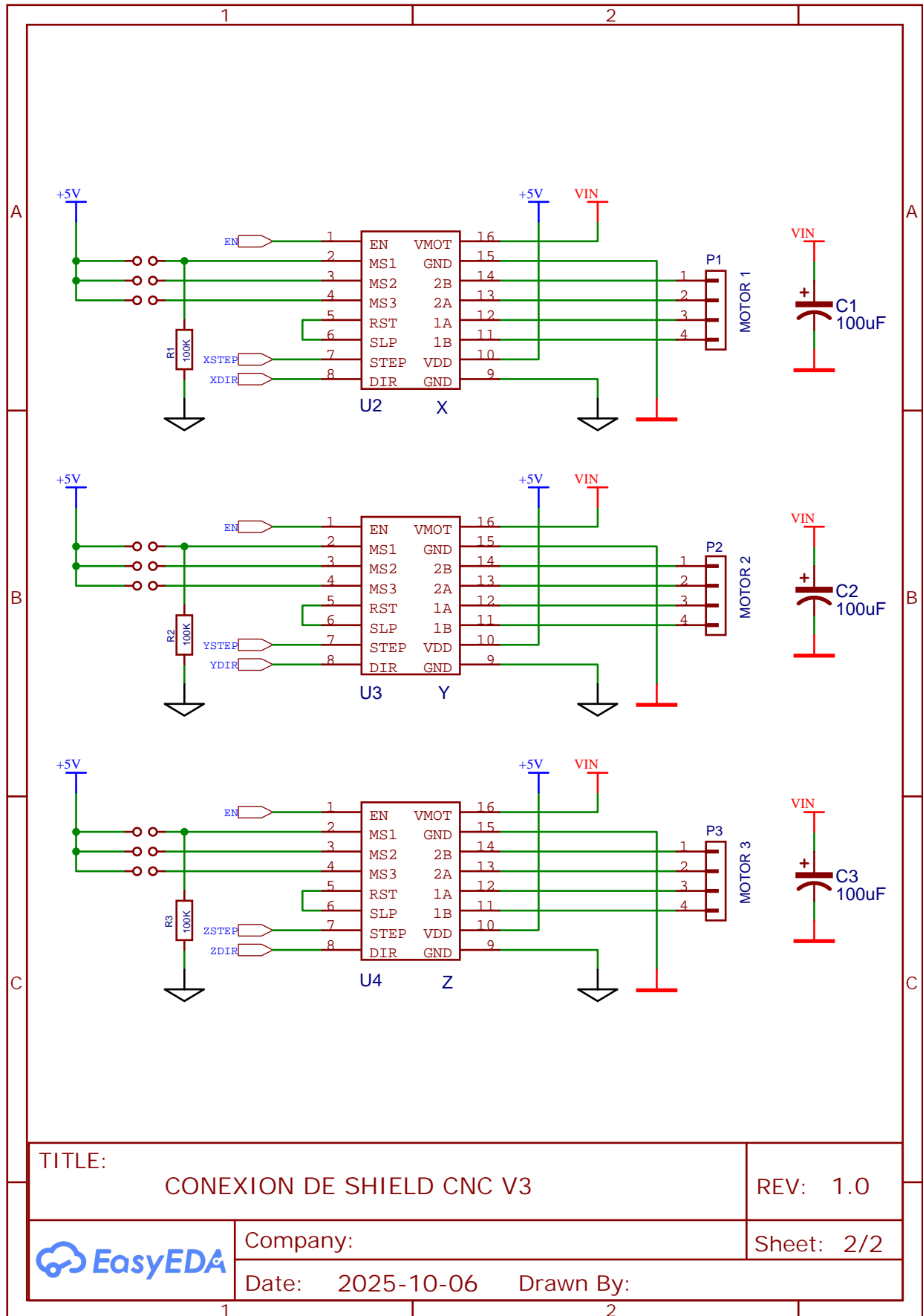


Figura 14: Esquemático de control para tres motores paso a paso (ejes X, Y, Z).